



รายงานการวิจัย

โครงการวิจัยเรื่องภาษาไทย เครื่องเคลือบสีอะกุมินียมโดยวิธีการอะโนไดซ์
ภาษาอังกฤษ Aluminum Color-Coating Machine by Anodize Methodology

คณบดีผู้วิจัย

นาย ปริญญา ศรีสัตย์กุล

โครงการวิจัยทุนสนับสนุนงานวิจัยของมหาวิทยาลัยเทคโนโลยีราชมงคลกรุงเทพ

งบประมาณแผ่นดิน ปี พ.ศ. 2553

มหาวิทยาลัยเทคโนโลยีราชมงคลกรุงเทพ

โครงการวิจัย เครื่องเคลื่อนสีอะลูมิเนียมโดยวิธีการอะโนไดซ์
ผู้วิจัย อาจารย์ปริญญา ศรีสัตย์กุล

บทคัดย่อ

วัตถุประสงค์ของงานวิจัยนี้ เป็นการออกแบบและสร้างเครื่องเคลื่อนสีอะลูมิเนียมโดยวิธีการอะโนไดซ์ โดยมีกระบวนการทำงานหลักๆ อยู่ 4 ส่วน ได้แก่ ฐานเครื่อง, บ่ोเคลื่อนสี, ระบบลำเลียงชิ้นงาน และระบบไฟฟ้าควบคุมการทำงาน เครื่องเคลื่อนสีอะลูมิเนียมโดยวิธีการอะโนไดซ์ มีขั้นตอนการทำงาน 6 ขั้นตอน คือ บ่อที่ 1 จะทำการล้างไขมันที่ผิวชิ้นงานด้วยโซเดียมฟอสเฟต, บ่อที่ 2 จะเป็นการล้างน้ำสะอาด, บ่อที่ 3 เป็นการทำอะโนไดซ์โดยใช้สารละลายกรดฟลูอิคิค, บ่อที่ 4 เป็นการล้างกรดฟลูอิคิค, บ่อที่ 5 เป็นกระบวนการเคลื่อนสีอะลูมิเนียม และบ่อที่ 6 เป็นการทำความสะอาดชิ้นงาน โดยกระบวนการทำงานอัตโนมัติทั้งหมดจะถูกควบคุมการทำงานด้วยระบบ PLC ส่งผลให้ประสิทธิภาพของกระบวนการเคลื่อนสีอะลูมิเนียมโดยวิธีการอะโนไดซ์เพิ่มมากขึ้น เมื่อเทียบกับการใช้แรงงานคน

คำสำคัญ : กระบวนการเคลื่อนสี, อะลูมิเนียม, วิธีการอะโนไดซ์

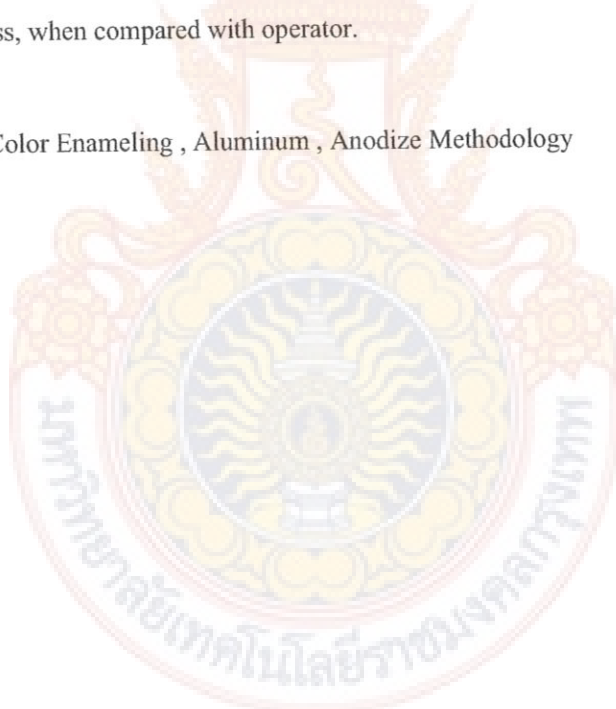


Project Aluminum Color-Coating Machine by Anodize Methodology
Research Parinya Srisattayakul

Abstract

The objective of research was designed and made the aluminum color-coating machine by anodize methodology, these processes were separated 4 parts namely; the base of machine, the enameling pond, the conveyor and the electric system. The aluminum color-coating machine by anodize methodology had 6 steps that, the first pond is clean the oil out of the workpiece by sodium phosphate, the second pond is clean the workpiece by water, the third pond is anodize the workpiece by sulfuric acid, the forth pond is clean the sulfuric acid out of the workpiece, the fifth pond is enamel the workpiece by ink color and the sixth pond is finished cleaning. These automatic process were controlled by PLC system, which it was increased the efficiency of anodize process, when compared with operator.

Key Word : Color Enameling , Aluminum , Anodize Methodology



กิตติกรรมประกาศ

โครงการออกแบบและสร้างเครื่องเคลือบสีอะลูมิเนียมโดยวิธีการอะโนไดซ์นั้น สามารถบรรลุถึงความสำเร็จตามวัตถุประสงค์ที่กำหนดไว้ ทั้งนี้ทางผู้วิจัยขอกราบขอบพระคุณบิชา นารดา และครอบครัว ที่ให้การสนับสนุนด้านการศึกษา ตลอดจนคุณครูและอาจารย์ทุกๆ ท่านที่ได้ทำการอบรมสั่งสอนความรู้เชิงวิชาการต่างๆ งานวิจัยนี้ได้รับทุนอุดหนุนการวิจัยจากงบประมาณแผ่นดินประจำปี พ.ศ.2553 มหาวิทยาลัยเทคโนโลยีราชมงคลกรุงเทพ จึงขอกราบขอบพระคุณอย่างสูงไว้ ณ โอกาสนี้

ฉุดท้ายนี้ ถ้าหากรายงานโครงการวิจัยฉบับนี้ เกิดมีข้อพิพาตประการใดขึ้น ทางผู้วิจัยขออภัยมา ณ ที่นี่ด้วย และมีความยินดีรับฟังความคิดเห็นของทุกท่านที่ให้คำแนะนำพร้อมรับไปปรับปรุง และยินดีเป็นอย่างยิ่งหากท่านทั้งหลายสามารถนำความรู้จากโครงการวิจัยนี้ ไปประยุกต์ใช้งานให้เกิดประโยชน์ต่อไป

ผู้วิจัย



สารบัญ

หน้า

บทที่ 1 บทนำ

1.1 ความเป็นมาและความสำคัญของปัญหา	1
1.2 วัตถุประสงค์ของโครงการ	1
1.3 ขอบเขตของโครงการ	1
1.4 วิธีดำเนินการ	1
1.5 ประโยชน์ที่คาดว่าจะได้รับ	2

บทที่ 2 ทฤษฎีและงานวิจัยที่เกี่ยวข้อง

2.1 บทนำ	3
2.2 นิยามคำศัพท์	3
2.3 แนวความคิด	3
2.4 การทำโน้ตไชซ์	3
2.5 เหตุการณ์ร้อน	6
2.6 เพลาส่งกำลัง	8
2.7 ตลับลูกปืน	9
2.8 งานเชื่อม	10
2.9 สร้างส่งกำลัง	11
2.10 แรงดึงและโมเมนต์ดักในงาน	18
2.11 Programmable Logic Controller (PLC)	22

บทที่ 3 วิธีการดำเนินงาน

3.1 บทนำ	25
3.2 การวางแผนการดำเนินงาน	25
3.3 วิธีการดำเนินงาน	26
3.4 การศึกษาข้อมูลและทฤษฎีที่เกี่ยวข้อง	26
3.5 การกำหนดรายละเอียดของงาน	27
3.6 การออกแบบชิ้นส่วนเครื่องเคลื่อนสีอุ่นสีอุ่นด้วยวิธีการอะโนไคซ์	29
3.7 การสร้างเครื่องเคลื่อนสีอุ่นสีอุ่นเนื่อง	40

สารบัญ (ต่อ)

หน้า

บทที่ 4 ผลการทดสอบ	
4.1 บทนำ	44
4.2 การทดสอบประสิทธิภาพเครื่องเคลือบสีอะลูมิเนียมด้วยวิธีการอะโนไดซ์	44
4.3 ผลการทดสอบประสิทธิภาพเครื่องเคลือบสีอะลูมิเนียมด้วยวิธีการอะโนไคลซ์	44
บทที่ 5 สรุปผลและข้อเสนอแนะ	
5.1 สรุปผล	47
บรรณานุกรม	48
ภาคผนวก	49

สารบัญภาพ

ภาพที่	หน้า
2.1 ภาพเหล็กโครงสร้างรูปพระรัตนแบบเครื่องร้อน	7
2.2 ลักษณะของตัวบล็อกปืนสำหรับรับแรงในแนวต่างๆ ของบริษัท SKF	9
2.3 ลักษณะของเม็ดลูกปืนแบบต่างๆ	10
2.4 ส่วนประกอบต่างๆ ของตัวบล็อกปืน	10
2.5 แม่แรง	11
2.6 ศกรูเพรส	12
2.7 เกลี่ยวสีเหลี่ยมคงหมุน	12
2.8 มุนระยาน้ำ	13
2.9 ชนิดของเกลี่ยวสำหรับส่งกำลัง	14
2.10 ขนาดต่างๆ ของเกลี่ยวสีเหลี่ยมคงหมุน	15
2.11 สภาพสมดุลของส่วนดักทางด้านซ้ายและขวาของคาน	18
2.12 ลักษณะ SFD และ BMD ในคานภายใต้แรงกระทำเป็นจุดและแรงกระทำ	19
2.13 คานภายใต้แรงกระทำกระจายต่อเนื่อง	21
2.14 โครงสร้างภายในของ PLC	22
2.15 ตัวอย่างอุปกรณ์ Input ในระบบ PLC	23
2.16 ตัวอย่างอุปกรณ์ Output ในระบบ PLC	24
3.1 วิธีการดำเนินงาน	26
3.2 ขั้นตอนทดสอบสำหรับเครื่องเคลื่อนสีอุณหภูมิโดยวิธีการอะโนไคซ์	27
3.3 กระบวนการเคลื่อนสีอุณหภูมิโดยวิธีการอะโนไคซ์	28
3.4 ขนาดต่างๆ ของเกลี่ยว	29
3.5 แรงทั้งหมดที่กระทำกับคานนี้ของมาจากน้ำหนักของชิ้นงานทดสอบ	33
3.6 แผนภาพความเส้นดัดและความเส้นเฉือนจากน้ำหนักของชิ้นงานทดสอบ	35
3.7 แรงง่วงจรควบคุมระบบ PLC	39
3.8 ภาพประกอบเครื่องเคลื่อนสีอุณหภูมิโดยวิธีการอะโนไคซ์	40
3.9 โครงสร้างเครื่องเคลื่อนสีอุณหภูมิโดยวิธีการอะโนไคซ์	41
3.10 ชุดขับเคลื่อนชิ้นงานเครื่องเคลื่อนสีอุณหภูมิโดยวิธีการอะโนไคซ์	42

สารบัญตาราง

ตารางที่	หน้า
3.1 แผนการดำเนินงานโครงการวิจัย	25
3.2 ฐานข้อมูลในการเลือกขนาดของสกูร์ส์กำลัง	31
3.3 ค่ามาตรฐานสำหรับการพิจารณาเลือกแคนสลักเกลี่ยว	37
3.4 คุณสมบัติทางกลของสลักเกลี่ยว	38
3.5 รายละเอียดขั้นส่วนต่างๆ ของโครงเครื่องเคลื่อนสีอ่อนมิเนียมด้วยวิธีการอบไนโอล์	41
3.6 รายละเอียดชุดเครื่องที่ขึ้นงานเครื่องเคลื่อนสีอ่อนมิเนียมกึ่งอัตโนมัติ	43
4.1 ข้อมูลการทดสอบประสิทธิภาพเครื่องเคลื่อนสีอ่อนมิเนียมด้วยวิธีการอบไนโอล์	45
4.2 การประมวลผลเชิงสถิติด้วยเทคนิค One-way ANOVA	45
4.3 ข้อมูลการทดลองการทำไนโอล์ชิ้นงานทดสอบ โดยใช้ระยะเวลา 4 นาที	45



บทที่ 1

บทนำ

1.1 ความเป็นมาและความสำคัญของปัญหา

ในปัจจุบันนี้ กระบวนการเคลือบสีวัสดุอยู่ในเชิงกันอยู่ ส่วนใหญ่ยังคงใช้ กำลังคนเป็นหลักในการทำงาน โดยเริ่มตั้งแต่การคัดเลือกวัสดุ การเตรียมชิ้นงาน การทำความสะอาดชิ้นงาน การทำปฏิริยาอะโน ไปด้วย การเคลือบสีชิ้นงาน การทำพิล์มชิ้นงาน และการล้างทำความสะอาดชิ้นงานในขั้นตอนสุดท้ายนั้น ในแต่ละขั้นตอนที่กล่าวมาด้านบนแล้วแต่ใช้กำลังคนในการทำงานทั้งสิ้น ซึ่งปัญหาที่เกิดขึ้นอยู่บ่อยครั้ง คือ การควบคุมคุณภาพของกระบวนการเคลือบสี อยู่ในไม่มีความแน่นอน ตัวอย่างเช่น ระยะเวลาในการเคลือบสีอยู่ในช่วง ถ้าหากเคลือบนานเกินไปจะทำให้สีที่เคลือบหนามากเกินความต้องการ หรือถ้าหากเคลือบริเวณใดสีที่เคลือบก็อาจจะติดไม่ทั่วทั้งชิ้นงาน เป็นต้น จากปัญหาดังกล่าวที่ทางคณะผู้จัดโครงการทำจึงมีแนวความคิดที่จะใช้เทคโนโลยีทางด้านวิศวกรรมเข้ามาช่วยแก้ไขปัญหาเหล่านี้ โดยการออกแบบและสร้างเครื่องเคลือบสีอะลูมิเนียม โดยวิธีการอะโน ได้ชี้แจ้งมา

1.2 วัตถุประสงค์ของโครงการ

- 1.2.1 เพื่อออกแบบสร้างเครื่องเคลือบสีอะลูมิเนียม โดยวิธีการอะโน ได้
- 1.2.2 เพื่อศึกษาวิธีการควบคุมคุณภาพของกระบวนการเคลือบสีอะลูมิเนียม
- 1.2.3 เพื่อประยุกต์เทคโนโลยีด้านวิศวกรรมเข้ามาใช้ในกระบวนการเคลือบสีอะลูมิเนียม

1.3 ขอบเขตของโครงการ

- 1.3.1 ออกแบบสร้างเครื่องเคลือบสีอะลูมิเนียม โดยวิธีการอะโน เป็นเครื่องตั้งแบบ
- 1.3.2 ชิ้นงานทดสอบมีขนาดเส้นผ่าศูนย์กลาง 10 mm. ยาว 12 mm. และมีเกลียวใน

1.4 วิธีดำเนินการ

- 1.4.1 ศึกษาทฤษฎีและงานวิจัยที่เกี่ยวข้องกับกระบวนการเคลือบสีอะลูมิเนียม
- 1.4.2 ศึกษาทฤษฎีและงานวิจัยที่เกี่ยวข้องกับการออกแบบเชิงสร้างเครื่องจักร
- 1.4.3 ออกแบบชิ้นงานสำหรับการทดสอบเครื่องเคลือบสีอะลูมิเนียม โดยวิธีการอะโน ได้
- 1.4.4 ออกแบบเครื่องเคลือบสีอะลูมิเนียม โดยวิธีการอะโน ได้

- 1.4.5 ดำเนินการสร้างเครื่องเคลือบสีอะลูมิเนียมโดยวิธีการอะโนไดซ์
- 1.4.6 ทดสอบประสิทธิภาพของเครื่องเคลือบสีอะลูมิเนียมโดยวิธีการอะโนไดซ์
- 1.4.7 สรุปผลการดำเนินงาน และข้อเสนอแนะ

1.5 ประโยชน์ที่คาดว่าจะได้รับ

- 1.5.1 สามารถสร้างเครื่องเคลือบสีอะลูมิเนียมโดยวิธีการอะโนไดซ์ด้วยแบบที่มีประสิทธิภาพ
- 1.5.2 สามารถควบคุมคุณภาพของกระบวนการเคลือบสีอะลูมิเนียมได้
- 1.5.3 สามารถประยุกต์เทคโนโลยีด้านวิศวกรรมเข้ามาใช้ในกระบวนการเคลือบสีอะลูมิเนียม



บทที่ 2 ทฤษฎีที่เกี่ยวข้อง

2.1 บทนำ

การทำอะโนไคซ์อลูมิเนียม คือ การทำผิวของอลูมิเนียมให้เป็นอลูมิเนียมออกไซด์ที่มีลักษณะคล้ายฟิล์ม และสิ่งสำคัญอย่างหนึ่งที่ผู้ผลิตจะต้องทำการควบคุมให้ได้ นั่นคือ ความหนาของผิวอลูมิเนียมออกไซด์ ซึ่งจะต้องเป็นไปตามข้อกำหนดที่ต้องการ

2.2 นิยามคำศัพท์

การทำอะโนไคซ์ หมายถึง กระบวนการป้องกันการผุกร่อนของโลหะอลูมิเนียม โดยทำให้เกิดออกไซด์ของอลูมิเนียม คือ Al_2O_3 ที่เสถียรเคลือบผิวด้วยไฟฟ้า โดยใช้การอิเล็กโทรลิซิสออกไซด์ของอลูมิเนียมที่เกิดขึ้นจากการทำอะโนไคซ์จะมีลักษณะผิวด้านและมีรูพรุนเล็กมากๆ โดยรูพรุนนี้จะเป็นพื้นที่สำหรับกักเก็บสีที่จะเคลือบไว้ การการทำอะโนไคซ์จะทำให้ผิวอลูมิเนียมทนการกัดกร่อนได้มากขึ้น และเป็นชนวนไฟฟ้า

2.3 แนวความคิด

เนื่องจากปัจจุบันมีการทำอะโนไคซ์ซึ่งยังต้องใช้คนในการปฏิบัติงานอยู่เป็นส่วนใหญ่ ผู้วิจัยจึงมีแนวความคิดในการสร้างเครื่องเคลือบสีอะลูมิเนียมโดยวิธีการอะโนไคซ์ขึ้นมา เพื่อใช้เป็นเครื่องทุ่นแรงในการเคลือบสีชิ้นงานอะลูมิเนียมในตำแหน่งต่างๆ ตามความต้องการ และสามารถกำหนดเวลาที่ทำการเคลือบสีอะลูมิเนียมได้แม่นยำมากยิ่งขึ้น โดยการใช้อุปกรณ์ควบคุมเวลา (Timer) ในการชุบเคลือบสี และยังสามารถนำเอาเครื่องต้นแบบ (Prototype) ดังกล่าวนี้ไปพัฒนาปรับปรุงในอนาคตได้

2.4 การทำอะโนไคซ์

การทำอะโนไคซ์ หมายถึง กระบวนการป้องกันการผุกร่อนของโลหะอลูมิเนียม โดยทำให้เกิดออกไซด์ของอลูมิเนียมคือ Al_2O_3 ที่เสถียรเคลือบผิวด้วยไฟฟ้า โดยการใช้การอิเล็กโทรลิซิสออกไซด์ของอลูมิเนียมที่เกิดขึ้นจากการทำอะโนไคซ์จะมีลักษณะผิวด้านและมีรูพรุนเล็กมากๆ โดยรูพรุนนี้จะกักเก็บสีที่จะข้อมไว้ การทำอะโนไคซ์ จะทำให้ผิวอลูมิเนียมทนการกัดกร่อนได้มากขึ้น และเป็นชนวนไฟฟ้า

โดยปกติเมื่อทึ้งอุณหภูมิเนี่ยม ไวรในบรรยายกาศทั่วๆ ไป อุณหภูมิเนี่ยมจะทำปฏิกิริยา กับออกซิเจน ในอากาศเกิดเป็นชั้นฟิล์มบางๆ ซึ่งมีคุณสมบัติทนการกัดกร่อนได้ดี ในแต่นอกอุณหภูมิเนี่ยมบริสุทธิ์ การเกิดของชั้นฟิล์มบางจะเป็นไปอย่างมีประสิทธิภาพ แต่ในอุณหภูมิเนี่ยมที่มีโลหะอื่นผสมอยู่ (Alloys) โดยเฉพาะอุณหภูมิเนี่ยมที่ผสมแมกนีเซียมจะมีคุณสมบัติทนการกัดกร่อนได้ดี

อุณหภูมิเนี่ยมจัดเป็นวัสดุหลักๆ ที่ใช้ในการผลิตชิ้นส่วนเครื่องบิน ส่วนใหญ่จะเป็นจำพวก อุณหภูมิเนี่ยมอะโนไดซ์ นอกจากนี้ ยังพบการใช้งานอุณหภูมิเนี่ยมอะโน ไดซ์ในเครื่องใช้ประจำวัน เช่น เครื่องเล่น MP3, ไฟฉาย, เครื่องครัว, กล้อง และอุปกรณ์พิมพ์ เป็นต้น ซึ่งผลผลิตได้จากทำอะโน ไดซ์นอกจากทนการกัดกร่อนของบรรยายกาศได้ดีขึ้นแล้ว ยังสามารถย้อมสีได้อีกด้วย ผิวของอะโน ไดซ์มีความสามารถในการนำความร้อน ได้ดีลดลง และมีสัมประสิทธิ์การขยายตัวต่ำกว่าอุณหภูมิเนี่ยม บริสุทธิ์ ด้วยคุณสมบัติดังกล่าว นี่คือจุดเด่นที่สำคัญที่สูงกว่า 80°C อย่างไรก็ตามผิว จะไม่กระเทาะหลอกออก ผิวของอุณหภูมิเนี่ยมที่ผ่านการอะโน ไดซ์แล้วจะมีจุดหลอมเหลวที่ 2050°C ซึ่ง สูงกว่าอุณหภูมิเนี่ยมบริสุทธิ์ ซึ่งจะหลอมเหลวที่ 658°C ดังนั้ออุณหภูมิเนี่ยมที่ผ่านการอะโน ไดซ์จึงทำการ เชื้อมติดได้ยาก

อุณหภูมิเนี่ยมออกไซด์ที่เกิดจากการอะโน ไดซ์จะเกิดออกขึ้นที่ผิว และอีกส่วนหนึ่งจะออกกิน ลงไปเนื้อผิวเดิมในอัตราส่วนเท่าๆ กัน ตัวอย่างเช่น การอะโน ไดซ์ความหนา 2 ไมโครเมตร ดังนั้น ชิ้นงานจะมีความหนาเพิ่มขึ้นเพียง 1 ไมโครเมตร (เฉพาะอีก 1 ไมโครเมตร กินลงไปที่ผิวเดิม)

หากการทำอะโน ไดซ์ทำขึ้นในสารละลาย (ที่อุณหภูมิเนี่ยมออกไซด์สามารถละลายได้) เช่น กรดกัมมะถัน หรือกรด โคลอมิก ขนาดของรูพรุนที่เกิดขึ้นจะมีขนาดเส้นผ่านศูนย์กลางระหว่าง 10- 150 นาโนเมตร ก่อตัวเป็นชั้นบางๆ ที่ผิว สามารถก่อตัวหนาขึ้นบริเวณรูพรุนที่เกิดขึ้น ตอนนี้เป็น เหมือนห่อทรงหมาลีมปลายเปิด ซึ่งยังสามารถถูกกัดกร่อนได้หากไม่มีการปิดผลึกปลาย ทรงกระบอกนี้ โดยทรงกระบอกเล็กๆ นี้ จะเป็นที่บรรจุสี และ/หรือสารป้องกันสารกัดกร่อน ซึ่ง ปลายกระบอกนี้เพื่อกักเก็บสี และ/หรือสารป้องกันการกัดกร่อน ไว้ภายใน

การทำอะโน ไดซ์อุณหภูมิเนี่ยม มีอยู่ด้วยกัน 3 ชนิดหลักๆ (ตามมาตรฐาน MIL-A-862S) ได้แก่

Type I – Chromic Acid Anodization คือ กระบวนการนี้ โดยทั่วไปจะใช้กับชิ้นงานที่ไม่ ต้องการความแข็งของผิวสูงมาก

Type II – Sulphuric Acid Anodization คือ กระบวนการนี้ โดยทั่วไปจะใช้กับชิ้นงานที่ ต้องการความแข็งของผิวสูง

Type III - Sulphuric Acid hard Coat Anodization คือ กระบวนการนี้ โดยทั่วไปจะใช้กับ งานที่ต้องการความแข็งแรงของผิวสูงมาก

นอกจากนี้ ยังมีวิธีการอะโนไดซ์อื่นๆ อีก ตามมาตรฐาน MIL-A63576, AMS 2470, AMS 2471, AMS 2472, AMS 2482, AB10074 และ BS 5599STM

ก่อนทำการอะโนไดซ์ควรต้มชิ้นงานอุ่นในน้ำด้วยไฟฟ้า หรือน้ำยาล้างงาน หรือสูญญากาศล้างไบมัน เพื่อบัดกรีบไบมันก่อนที่จะนำชิ้นงานไปกัดโซดาไฟ

ในการชุบอะโนไดซ์จะใช้ไฟฟ้ากระแสตรงผ่านไปยังชิ้นงานอุ่นในน้ำด้วยไฟฟ้ากระแสสลับ กระแสไฟฟ้าจะปล่อยไส้โครงจนออกที่ขั้วลบ และเริ่มสร้างอุ่นในน้ำด้วยไฟฟ้าที่พิเศษอยู่ในสารละลาย โดยจะปล่อยไส้โครงจนออกที่ขั้วลบ และเริ่มสร้างอุ่นในน้ำด้วยไฟฟ้าที่พิเศษ

เงื่อนไขและองค์ประกอบอื่นๆ เช่น ความเข้มข้นของสารละลายอะโนไดซ์, อุณหภูมิของสารละลายอะโนไดซ์ และกระแสไฟฟ้าที่ใช้งาน ล้วนแต่ไม่ผลต่อการก่อตัวของชั้นอุ่นในน้ำด้วยไฟฟ้า ความหนาของชั้นอาจแตกต่างกันหลายเท่า เมื่อเงื่อนไขและองค์ประกอบมีการเปลี่ยนแปลงไป ชั้นของออกไซด์ที่เกิดจะเพิ่มความแข็งและความสามารถในการทนการกัดกร่อนออกไซด์ที่ก่อตัวเป็นท่อรูปหกเหลี่ยมเรียงตัวกัน ความหนา (สูง) ของท่อนี้จะเริ่มตั้งแต่ 5 ไมโครเมตร ซึ่งจะให้ชิ้นงานสว่างใส จนถึง 150 ไมโครเมตร สำหรับใช้งานทางสถาปัตยกรรม

2.4.1 การทำอะโนไดซ์ด้วยกรดโคโรมิก

วิธีการทำอะโนไดซ์แบบนี้เป็นวิธีการแต่ดั้งเดิม รู้จักกันว่าเป็นวิธีแบบ Type I ตามมาตรฐาน MIL-A-8625 และรวมอยู่ใน Type IB ตามมาตรฐาน AMS 2470 และ MIL-A-8625 วิธีการใช้กรดโคโรมิกเป็นสารละลายหลักนี้ จะให้ความหนาของชั้นฟิล์มบางตั้งแต่ 5-18 ไมโครเมตร และพิเศษในที่นี้แสง แผ่นฟิล์มที่ได้จะอ่อนนุ่ม ยกต่อการชุบสี เน茫สำหรับเป็นการเตรียมพื้นพิเศษก่อนนำไปพ่นสี การใช้กระแสไฟจะต้องเพิ่มมากขึ้นเรื่อยๆ ตามกระบวนการชุบ

2.4.2 การทำอะโนไดซ์ด้วยกรดซัลฟูริก

เป็นวิธีการที่นิยมใช้กันมากที่สุด โดยใช้กรดซัลฟูริกเป็นสารละลายหลัก เรียกว่า เป็นวิธี Type II ซึ่งจะให้ความหนาของชั้นฟิล์มปานกลางตั้งแต่ 1.8-25 ไมโครเมตร ตามมาตรฐาน MIL-A-8625 การชุบหนากว่า 25 ไมโครเมตร เรียกว่าเป็นการชุบแบบหนา Type III, Hard Coat หรือ Engineered Anodizing การชุบแบบหนาๆ (โดยใช้กรดซัลฟูริกเป็นสารละลายหลัก) คล้ายๆ กับวิธีการใช้กรดโคโรมิก เรียกวิธีนี้ว่า Type IIB

การชุบแบบหนาๆ ต้องการกระบวนการและเครื่องมือในการควบคุมอุณหภูมิ โดยใช้เครื่องทำความเย็นหล่อสารละลายน้ำชาบุให้โกลด์ชุดเยื่อกเบ็ง (ของน้ำ) และใช้กระแสไฟฟ้าสูงกว่าการชุบแบบบาง การชุบแบบหนาจะให้ความหนาของชั้นฟิล์มตั้งแต่ 25-150 ไมโครเมตร การชุบอะโนไดซ์หนาจะช่วยเพิ่มประสิทธิภาพต่อการกัดกร่อน มีพิเศษในต่อการเติมสี กันความร้อนและเป็นฉนวนไฟฟ้า มาตรฐานที่ใช้ในการควบคุมการชุบแบบหนา Type III กำหนดโดยมาตรฐาน MIL-A-8625 หรือ AMS 2469

2.4.3 การทำอะโน่ไดซ์ด้วยกรดอินทรีย์เคมี

การใช้สารละลายกรดอินทรีย์เคมีอย่างกรดออกไซดิค จะให้สีสันภายในโดยไม่ต้องชุบสี สีที่จะเกิดขึ้นเปลี่ยนไปตามชนิดของโลหะผสม ความหนาของชั้นอะโน่ไดซ์สามารถทำได้มากถึง 50 ไมโครเมตร การชุบแบบนี้เรียกว่า Type IC กำหนดโดยมาตรฐาน MIL-A-8625

2.4.4 การทำอะโน่ไดซ์ด้วยกรดฟอสฟอริก

การใช้กรดฟอสฟอริกเป็นสารละลายตัวกลางในการชุบ โดยปกติจะใช้ในการเตรียมพื้นผิว เพื่อใช้เตรียมพื้นผิวสำหรับใช้งาน Adhesives Adhesives อธิบายตามมาตรฐาน ASTM D3933

2.4.5 การปิดผนึกห่อ

กระบวนการชุบอะโน่ไดซ์แบบ Type I, II และ III จะสร้างรูพรุนเล็กๆ ที่ผิว ซึ่งสามารถดูดซึมน้ำและคงความมันลื่นไว้ได้ แต่ยังไม่สามารถต่อการกัดกร่อนได้ การปิดผนึกปลายห่อสามารถทำได้โดยการจุ่มแซ่ในน้ำเดือด ซึ่งเป็นวิธีการง่ายที่สุด แต่ไม่ใช่วิธีที่มีประสิทธิภาพที่สุด เนื่องจากประสิทธิภาพในการป้องกันการขีดข่วนจะน้อยลง 20 % การชุบปิดด้วย เทฟล่อน, นิกелиอาเซติค, โคบอโลอาเซติค และโซเดียมไนโตรเมท/โปรแทสเซียมไนโตรเมท จะให้ได้ผลที่สมบูรณ์

2.5 เหล็กคาร์บอน

เหล็กคาร์บอน (Carbon Steel) เหล็กทุกชนิดมีคาร์บอนผสมอยู่ไม่เกิน 2% ไม่มีธาตุอื่นผสมอยู่เลย เช่น ทังสเตน, นิกเกิล และโครเมียม การเติมคาร์บอนหรือธาตุอื่นลงไปในเหล็กทำให้คุณสมบัติของเหล็กเปลี่ยนไป เหล็กคาร์บอนมีชิลิกอน ประมาณ 0.2% ฟอสฟอรัส และแมงกานีสอยู่เล็กน้อย การที่เหล็กกล้ามีคาร์บอนประมาณอยู่ในเนื้อเหล็กทำให้เกิดอิทธิพลต่อเหล็ก คือ ความเหนียวของเหล็กจะลดลงทำให้เหล็กมีความแข็งแรงขึ้น, ความสามารถในการเชื่อมคล่อง และความเค็นแรงดึงเพิ่มขึ้น เหล็กทุกชนิดมีธาตุทั้ง 5 ผสมอยู่คลอดซึ่งกันในรูปของสารมูลทินของธาตุทั้ง 5 ได้แก่ (C), (Si), (Mn), (P) และ(S) ธาตุทั้ง 5 มีปริมาณมากหรือน้อยขึ้นอยู่กับชนิดของเหล็ก

2.5.1 เหล็กกล้าคาร์บอนต่ำ (Low Carbon Steel) หรือเหล็กกล้าชนิดอ่อน รู้จักกันดีในชื่อ Mild Steel เนื่องจากความสามารถใช้งานที่ต้องการความความสูงและความอ่อน เหล็กกล้าชนิดนี้มีคาร์บอนผสมอยู่ไม่เกิน 0.25% ประโยชน์ของเหล็กกล้าคาร์บอนต่ำนี้ คือ ใช้กับงานยั่งหมุน สังกะสี นุ่งหลังคา เหล็กเส้น เหล็กวัสดุ โรงงานใช้ผลิต สร้าง นั่ค โบลท์ หลอดท่อโลหะ แผ่นเหล็กบางๆ

2.5.2 เหล็กกล้าคาร์บอนปานกลาง (Medium Carbon) หรือเหล็กปคติเหล็กกล้าชนิดนี้ มี คาร์บอนผสมอยู่ 0.03-0.06 % มีความเหนียวแน่นอย่างกว่าเหล็กกล้าคาร์บอนค่าแต่ไม่มีความแข็งและ ความเก็บแรงดึงมากกว่าจึงมีคุณสมบัติ คือ แปรรูปได้ง่าย และชุบพิวแท้ได้ ประโยชน์ของ เหล็กกล้าคาร์บอนปานกลางนี้ คือ ใช้กับงานทำเพลาต่างๆ ทำเฟืองเครื่องจักรกลทั่วไป ลวด สปริง ล้อรถไฟ หัวค้อน ก้านสูบ และหลอดท่ออย่างหนึบ เป็นต้น

2.5.3 เหล็กกล้าคาร์บอนสูง (High Carbon Steel) เหล็กกล้าแข็ง เหล็กกล้าชนิดนี้มีเปอร์เซ็นต์ คาร์บอนสูงกว่าเหล็กกล้าทั้ง 2 ชนิด เมื่อมีคาร์บอนสูงจึงทำให้เหล็กกล้าชนิดนี้มีความแข็ง จึงนิยมนำมาทำ เป็นเหล็กเครื่องมือที่ใช้เกี่ยวกับการตัด การเจาะ การเฉือน มีคุณสมบัติ คือ มีคาร์บอน 0.06-1.70 % มี ความแข็งสูงประโยชน์ของเหล็กกล้าคาร์บอนสูงนี้ คือ ใช้กับงานทำใบตัด สปริงหนบ เหล็กดัด เหล็กเจาะ เหล็กทำเครื่องมือช่าง ไม้ขawan ใบมีดโภน ตะไบ ดอกสว่าน แผ่นเกา และมีคลึง เป็นต้น

2.5.4 เหล็กโครงสร้างรูปพรรณ เป็นเหล็กโครงสร้างที่มีรูปพรรณเป็นรูปตัดที่ผลิตขึ้นโดย มีขนาดและหนักตามที่มาตรฐานกำหนดไว้ อาจได้จากการผลิตแบบรีดร้อน (Hot Roller) หรือแบบ รีดเย็น (Cold Roller) มีขนาดความยาวมาตรฐานเดี่ยวนะ 6 เมตร



ภาพที่ 2.1 ภาพเหล็กโครงสร้างรูปพรรณแบบรีดร้อน

เหล็กโครงสร้างรูปพรรณแบบรีดร้อนนี้ ใช้ในการทำส่วนโครงสร้างหลัก เช่น เสาและ คานเหล็กรูปพรรณที่มีจำนวน多いในท้องตลาดมีรูปตัดต่างๆ กัน เช่น เหล็กรูปตัดฉาก (Angle L) เหล็ก รูปพรรณตัดรูปตัว S (ตัว I เดิน) เหล็กรูปตัดแบบปีกกว้าง (Wide Flange W หรือ WF) เหล็กรูปตัด กล้ายร่องน้ำ หรือร่องน้ำ หรือคูสเมื่อนเหล็กรูปตัดตัว C (Channel C) เหล็กรูปตัดตัว T ที่ได้จากการ

2.6 เพลาส่งกำลัง

เพลาส่งกำลัง (Shaft) เป็นชิ้นส่วนของเครื่องกลที่สำคัญ ในการส่งถ่ายกำลังหมุนต้องต้านทานต่อแรงบิด เช่น ในเพลาตัด เพลาที่ส่วนอยู่กับพูลเลเยอร์ และเฟือง เป็นต้น ซึ่งเพลาจะมีพื้นที่หน้าตัดเป็นวงกลมหมุนรอบตัวเอง ทำหน้าที่ส่งผ่าน โมเมนต์บิดและโมเมนต์ดัก ดังนั้นวัสดุที่จะนำมาทำเพลาจะต้องทนต่อแรงบิดและแรงดันได้ดี เหล็กที่มีคุณสมบัติตามที่กล่าวมาแล้วนี้ ได้แก่ พากเหล็ก St 37, St 44, St 50 และ St 60 ถ้าหากใช้โลหะที่ต้องทนต่อการเสียดสี ก็ควรเลือกเหล็กสำหรับชุดแข็ง เช่น C 15, Cr18 และ Ni8 เป็นต้น การเคลื่อนที่ของเพลาจะต้องออกแบบให้เพลาทึ้งสองหมุนเวียนสวนทางกัน โดยใช้เฟืองเป็นตัวถ่ายทอด

τ_d คือ ความเค้นที่ยอมให้เกิดขึ้นได้ (Permissible Shear Stress) และตามหลักเกณฑ์ถ้าเพลา มีความเค้นต่ำกว่าความเค้นที่ยอมให้เกิดขึ้น อันเนื่องจากการกลึงตกบ่า หรือร่องลิ่ม ค่าความเค้นจะลดลงอีก 75% ซึ่ง สูตรสามารถใช้ในการคำนวณหาขนาดเพลา มีดังนี้

$$d^3 = \frac{16(T)}{\pi(\tau)} \quad \dots \text{(สมการที่ 2.1)}$$

- เมื่อ d = ขนาดเส้นผ่านศูนย์กลางของเพลาที่ต้องการหา (mm)
 T = แรงบิดของเพลาที่เกิดขึ้น (N.m)
 τ = ความเค้นที่ยอมให้เกิดขึ้นได้ มีค่าเท่ากับ 0.3 (σ_y)

2.6.1 การคำนวณหาความเร็วรอบของเพลาและความเร็วตัดของเพลา

$$n = \frac{\nu(1000)}{\pi(d)} \quad \dots \text{(สมการที่ 2.2)}$$

- เมื่อ n = ความเร็วรอบ (rpm)
 ν = ความเร็วตัด (m/s)
 d = ขนาดความโดยของพูลเลเยอร์ (mm)

2.6.2 สมการในการคำนวณหากำลังของมอเตอร์ (Motor) การคำนวณหากำลังมอเตอร์ คำนวณได้จากสมการ

$$P = T(\omega) \quad \dots \text{ (สมการที่ 2.3)}$$

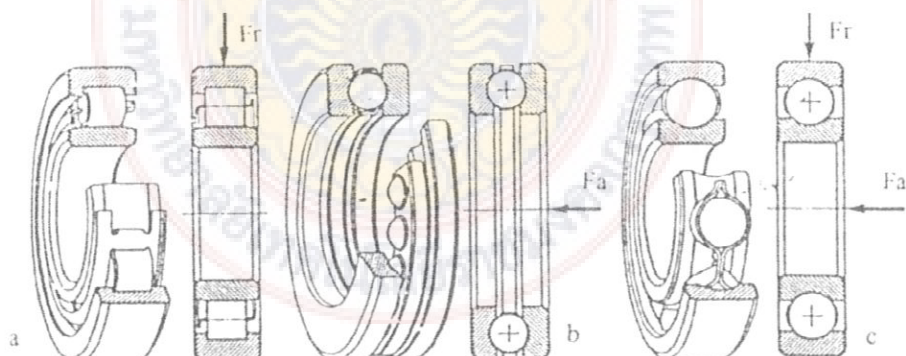
เมื่อ P = กำลังขับ (w)

T = Torque ที่ได้จากการทดลอง (N.m)

ω = ความเร็วเชิง努 (rad/sec)

2.7 ตัวลับลูกปืน

ตัวลับลูกปืน (Bearing) คือ ชิ้นส่วนเครื่องกลที่รองรับเพลา เพื่อให้เพลารับภาระและหมุนได้อย่างราบรื่น ปลอดภัย และมีอายุการใช้งานทนทาน นอกจากนี้ ตัวลับลูกปืนจะต้องแข็งแกร่งและมีความเที่ยงตรง ตัวลับลูกปืนเหมาะสมสำหรับภาระงานที่ไม่มากนัก ถ้าใช้งานที่มีความเร็วต่ำ อายุการใช้งานของตัวลับลูกปืนจะสูงขึ้น ในช่วงเริ่มหมุนจะมีความฝิดน้อย จึงมีชื่อเรียกอีกอย่างว่าเป็นชิ้นส่วนที่ไม่มีความฝิด (Antifriction) แต่ที่จริงแล้วมีความฝิดจากการต้านทานการกลิ้งระหว่างเม็ดลูกปืน นอกจากนี้ยังเกิดการเลื่อนของสารหล่อลื่นตัวลับลูกปืนมีหลายชนิดด้วยกันและแต่ละชนิดจะขึ้นอยู่กับการออกแบบให้เหมาะสมกับการใช้งานในแต่ละลักษณะงาน ซึ่งสามารถจำแนกออกได้ 3 ชนิดใหญ่ๆ ดังนี้



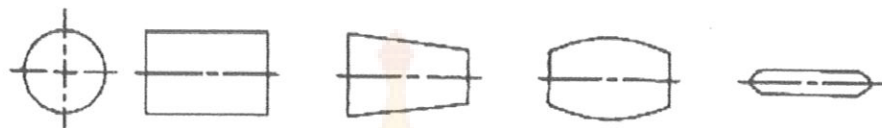
ภาพที่ 2.2 ลักษณะของตัวลับลูกปืนสำหรับรับแรงในแนวต่างๆ ของบริษัท SKF

a. Cylindrical Roller Bearing

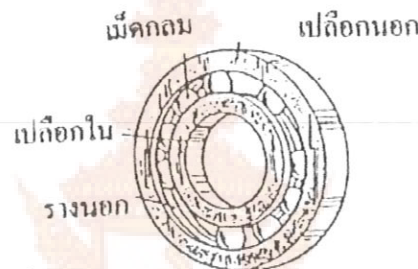
b. Ball Thrust Bearing

c. Deep Groove Ball Bearing

- 2.7.1 Ball Bearing เหมาะสำหรับแรงในแนวรัศมีที่มีการไม่สูงมากเกินไป
- 2.7.2 Roller Bearing เหมาะสำหรับแรงในแนวรัศมีที่มีการสูงๆ
- 2.7.3 Thrust Bearing เหมาะสำหรับรับแรงในแนวแกนที่มีการไม่สูงเกินไป



ภาพที่ 2.3 ลักษณะของเม็ดลูกปืนแบบต่างๆ



ภาพที่ 2.4 ส่วนประกอบต่างๆ ของคลับลูกปืน

2.8 งานเชื่อม

งานเชื่อม (Welding Joint) การนำเอาชิ้นงานตั้งแต่ 2 ชิ้นขึ้นไป มาประสานให้ติดกัน โดยชิ้นงานจะต้องต่อ กันโดยการหลอมละลายของโลหะทั้งสอง ณ อุณหภูมิเหมาะสม โดยมีตัวประสาน โลหะ งานเชื่อมแบ่งได้เป็น 2 พากใหญ่ๆ คือ

2.8.1 Fusion Welding ชิ้นส่วนของงานเชื่อมนี้จะเชื่อมติดกัน โดยที่โลหะบริเวณแนว เชื่อมจะหลอมละลายเข้าติดกัน โดยมีการเติม โลหะหรือไม่เติมก็ได้

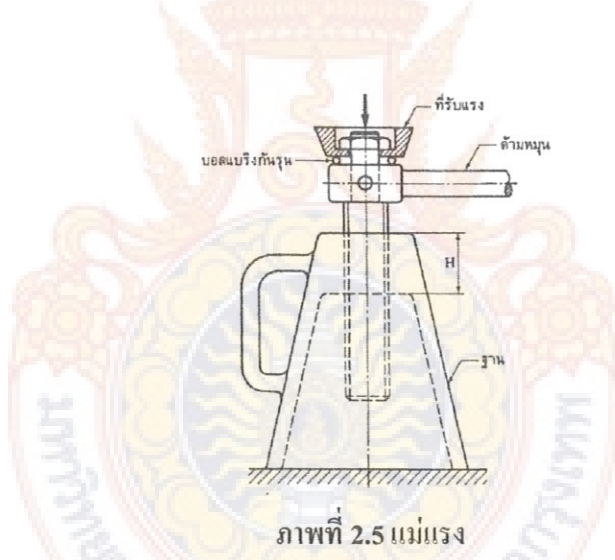
2.8.2 Pressure Welding ชิ้นส่วนของงานเชื่อมจะเชื่อมติดกัน โดยที่โลหะบริเวณนั้นจะ อุญี่ในสภาพที่เริ่มเป็นของเหลวและใช้แรงกดบริเวณแนวเชื่อมให้อัดติดกัน การเชื่อมแบบนี้จะไม่มี การเติมโลหะเชื่อม

- 1) วัสดุที่สามารถเชื่อมได้ อาจแบ่งออกได้เป็น 3 ประเภท
 - 1.1) Low Carbon Steel คือ เหล็กที่มีคาร์บอนผสมอยู่ในเหล็ก ไม่เกิน 3%
 - 1.2) โลหะที่ไม่ใช่เหล็ก (Non-Ferrous Metals) เช่น โลหะพลาททองแดง, ทองเหลือง, บรรอนซ์, สังกะสี และอลูминีียม

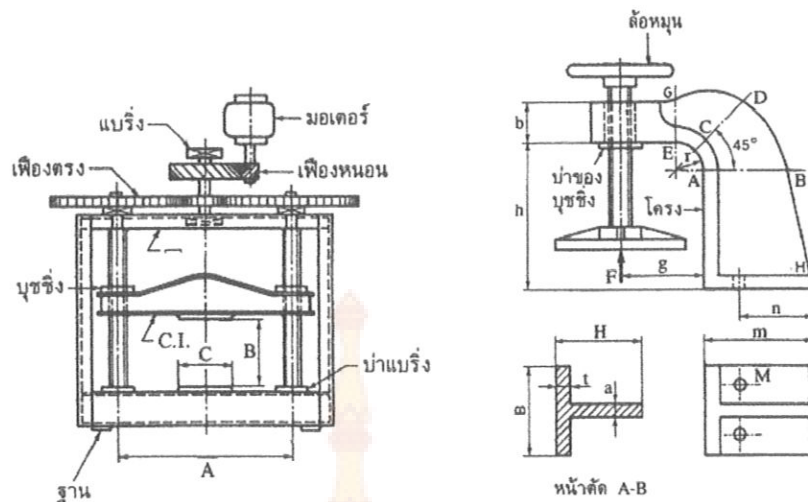
- 1.3) เทอร์โมพลาสติกบางประเภท (Thermoplastic Materials) สามารถเชื่อมต่อกันได้โดยใช้ลมร้อนและคลวตเชื่อม
- 2) กูห์หรือข้อพิงปฏิบัติทั่วไปในงานเชื่อม
 - 2.1) คุณสมบัติของวัสดุคลุดเชื่อมจะต้องดีกว่าคุณสมบัติของชิ้นงาน
 - 2.2) พยายามออกแบบแนวเชื่อมโดยให้มีแนวเชื่อมน้อยที่สุด
 - 2.3) แนวเชื่อมที่จะต้องมีเส้นภายในบริเวณเชื่อมน้อยที่สุด

2.9 สกรูส่งกำลัง

สกรูส่งกำลัง (Power Screw) เป็นชิ้นส่วนที่ใช้ในการจัดการเพื่อเปลี่ยนการหมุนเป็นการเดือน ดังนั้นมีชื่อเรียกอีกชื่อหนึ่งว่า สกรูเดือน (Translation Screw) นอกจากนี้สกรูส่งกำลังยังใช้ในการยกน้ำหนักที่สกรูรับอีกด้วย เช่น แม่แรง (Screw Jack) สำหรับยกน้ำหนัก, สกรูเพรส (Screw Press) สำหรับใช้กดเพื่อประกอบชิ้นงานหรือชิ้นส่วนเครื่องมือกด



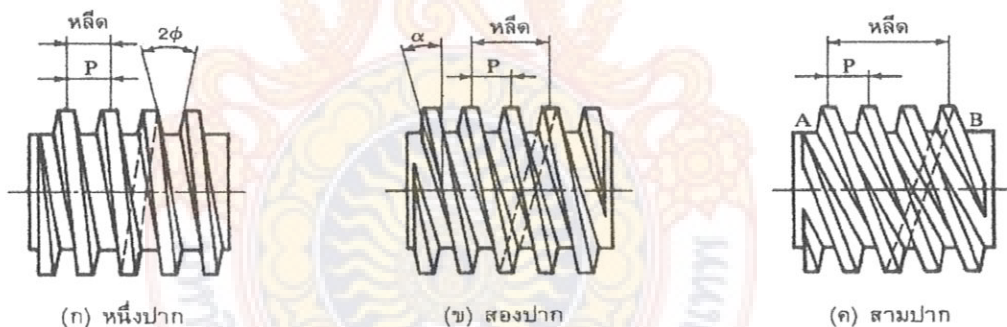
จากตัวอย่างที่กล่าวมานั้นจะเห็นได้ว่าการออกแบบหรือเลือกขนาดของสกรูส่งกำลังจะต้องคำนึงถึงความแข็งแรงของตัวสกรูที่จะรับแรงกดหรือแรงดึง ความสามารถในการรับแรงเมื่อนของตัวสกรู ความแข็งแรงและการตีกรอบของเกลียวคลอดจนกำลังงานที่ต้องการ



ภาพที่ 2.6 สกรูเพรส

2.9.1 คำจำกัดความสำหรับสกรูส่งกำลัง

สำหรับสกรูส่งกำลังจำเป็นที่จะต้องทำความเข้าใจกับคำจำกัดความบางคำ ซึ่งจะต้องใช้อัญเชมอโดยพิจารณาจากภาพที่ 2.7



ภาพที่ 2.7 เกลียวสีเหลี่ยมคงที่

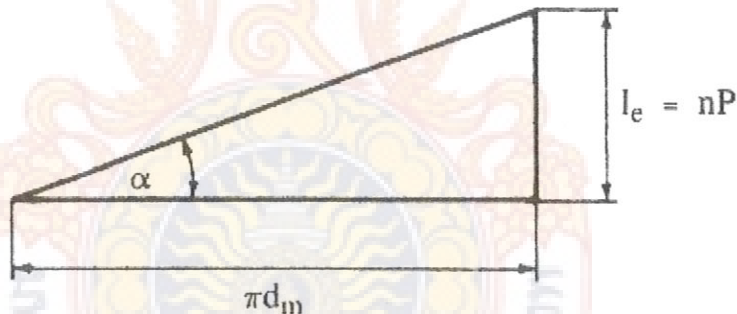
1) ระยะพิชช์ (Pitch ; P) หมายถึง ระยะทางที่วัดตามแนวแกนของสกรูจากจุดหนึ่งบนเกลียวหนึ่ง ไปยังจุดเดียวกันของเกลียวที่อยู่ด้านไป

2) ระยะนำ (Lead ; le) คือ ระยะทางที่สกรูเคลื่อนที่ได้ตามแนวแกนของสกรู ในขณะที่สกรูหมุนไปหนึ่งรอบ ถ้าเป็นสกรูหนึ่งปาก (Single Thread) ระยะนำจะมีค่าเท่ากับระยะพิชช์ สำหรับสกรูสองปาก (Double Thread) เกลียวจะมีปากค่าว่างระหว่างเกลียวสองเกลียว ดังภาพที่ 2.7 ดังนั้นมือสกรูหมุนไปหนึ่งรอบ การเคลื่อนที่ในแนวแกนของสกรูจึงเป็น 2 เท่าของ

$$le = n(P) \quad \dots \text{สมการที่ 2.4}$$

เมื่อ le = ระยะทางที่สกรูเคลื่อนที่
 n = จำนวนของปากสกรู
 P = ระยะพิเศษ

3) มุมชีลิกซ์ หรือมุมระยะนำ (Helix or Lead Angle ; α) หมายถึง มุมระหว่าง
 ระนาบที่สัมผัสกับความเรียงของเกลียวและระนาบที่ตั้งจากกันแกนของสกรู ถ้าให้ d_m เป็นเส้นผ่าน
 สูนย์กลางเฉลี่ยของสกรู และนำส่วนที่สกรูเคลื่อนที่ไปในขณะที่หมุนหนึ่งรอบมาคิดออก ก็จะได้
 ดังภาพดังภาพที่ 2.8



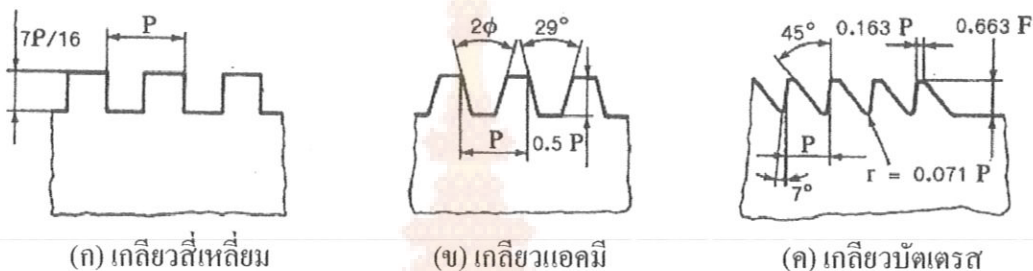
ภาพที่ 2.8 มุมชีลิกซ์ หรือมุมระยะนำ

เส้นผ่านสูนย์กลางใหม่เป็นเส้นผ่านสูนย์กลางที่ใหม่ที่สุดของสกรู ซึ่งนับรวมถึงความสูง
 ของเกลียวด้วยขนาดระบุ (Nominal Size) ของสกรูส่งกำลัง จะบอกโดยใช้ขนาดเส้นผ่านสูนย์กลาง
 ใหม่เสมอ เส้นผ่านสูนย์กลางเดิมเป็นเส้นผ่านสูนย์กลางที่เดิมที่สุดของสกรู

2.9.2 ชนิดของเกลียวส่งกำลัง

สกรูส่งกำลังที่ใช้อยู่ในปัจจุบันนี้ ส่วนมากจะมีขนาดหน่วยระบบอังกฤษ ส่วน
 เครื่องจักรที่จะผลิตออกมานอกจากตะขอๆ เป็นมาตรฐาน SI ซึ่งสำหรับสกรู

1) เกลี่ยวนิ่ม (Square Thread) เป็นเกลี่ยวที่มีประสิทธิภาพสูงสุดในจำพวกเกลี่ยวของสกรูส่งกำลัง ซึ่งเรียกกันอีกชื่อหนึ่งว่าเกลี่ยวเซลล์เลอร์ (Sellers Thread) โดยมีลักษณะของเกลี่ยวดังภาพที่ 2.9 แต่เนื่องจากการตัดเกลี่ยวนิ่มนี้ทำได้ยากและค่าใช้จ่ายสูง จึงมีการนำมาใช้งานน้อยลง ดังนั้นเกลี่ยวชนิดนี้จึงไม่ได้มีการทำเป็นมาตรฐานทั่วไป



ภาพที่ 2.9 ชนิดของเกลี่วส่งกำลัง

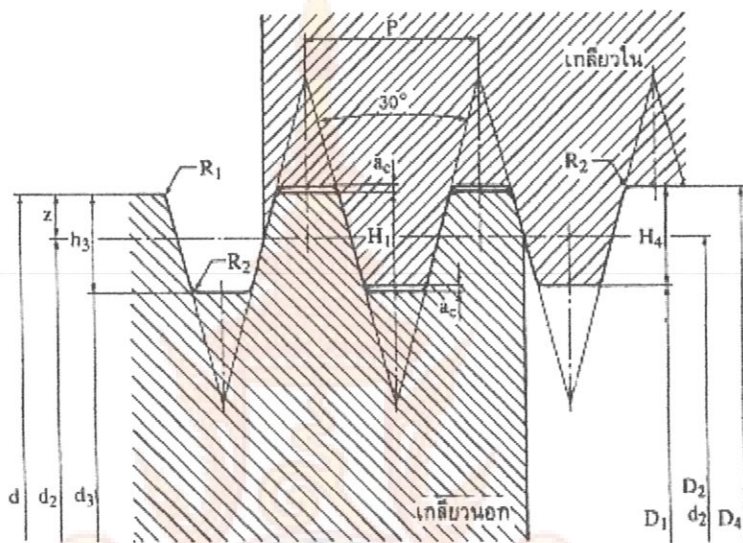
2) เกลี่ยวแอคเม (Acme Thread) หรือเกลี่ยวนิ่ม เนื่องจากความต้องการที่ต้องการใช้แรงงานมากเป็นเวลานานที่สุด รูปร่างของเกลี่ยวเป็นรูปสี่เหลี่ยมคงที่ โดยมีมุมของเกลี่ยว (Thread Angle) 2Φ เท่ากับ 29° ดังในภาพที่ 2.9 (ข) เนื่องจากตัดเกลี่ยวได้ง่ายจึงมีการนำมาใช้งานเรื่อยมา ประสิทธิภาพของเกลี่ยวชนิดนี้จะน้อยกว่าเกลี่ยวนิ่ม ถ้าเกิดความลึกหรือห้องจากใช้งานมาเป็นระยะเวลานานนั่งก็สามารถที่จะปรับให้เกลี่ยวของสกรูกับเกลี่ยวตัวเมียได้สนิทเหมือนเดิม โดยการขันเกลี่ยวตัวเมีย ซึ่งเป็นแบบ Split Nut เข้าไปให้กระชับกับเกลี่ยวของตัวสกรูได้

3) เกลี่ยวนิ่ม (Buttress Thread) เป็นเกลี่ยวที่มีรูปร่างเป็นฟันเลื่อน จุดมุ่งหมายก็เพื่อที่จะใช้รับแรงในทิศทางเดียว เกลี่ยวชนิดนี้มีความแข็งแรงมากกว่าเกลี่ยว 2 ชนิดที่ได้กล่าวมาแล้ว เนื่องจากเกลี่ยวชนิดนี้มีใช้ไม่นานนัก ดังนั้นจึงไม่ได้มีการกำหนดขนาดเป็นมาตรฐาน

2.9.3 เกลี่ยวนิ่มตามมาตรฐาน ISO

ขนาดเกลี่ยวนิ่มตามมาตรฐาน ISO บอกรวบติดต่อกัน เป็น mm และมีมุมของเกลี่ยว 2Φ เท่ากับ 30° ขนาดต่างๆ ของสกรูส่งกำลังชนิดนี้จะคำนวณได้จากสมการต่อไปนี้

$$\begin{aligned}
 H_1 &= 0.5P & D_4 &= d+2a_c \\
 H_4 &= H_1 + a_c = 0.5 + a_c & d_3 &= d - 2h_3 \\
 h_3 &= H_1 + a_c & R_1\max &= 0.5 a_c \\
 z &= 0.25P = H_1 & R_2\max &= a_c \\
 D_1 &= d - 2H_1 = d - P & d_2 &= D_1 = d - 2z = d - 0.5P
 \end{aligned}$$



ภาพที่ 2.10 ขนาดต่างๆ ของเกลี่ยวสี่เหลี่ยมคงที่

- โดยที่ a_c = ช่องว่างบนยอดฟัน
 D_4 = เส้นผ่านศูนย์กลางใหญ่ของเกลี่ยวใน
 D_1 = เส้นผ่านศูนย์กลางเล็กของเกลี่ยวใน
 D_2 = เส้นผ่านศูนย์กลางพิเศษของเกลี่ยวใน
 D = เส้นผ่านศูนย์กลางใหญ่ของเกลี่ยวนอก
 d_3 = เส้นผ่านศูนย์กลางเล็กของเกลี่ยวนอก
 d_2 = เส้นผ่านศูนย์กลางพิเศษของเกลี่ยวนอก
 H_1 = ความสูงหล่อ (Overlapping) ของเกลี่ยว
 H_4 = ความสูงของฟันเกลี่ยว
 h_3 = ความสูงของฟันเกลี่ยวใน
 P = ระยะพิเศษ

2.9.4 การออกแบบสกรูสั่งกำลัง

การคำนวณหาความคื้นในส่วนต่างๆ ของสกรูสั่งกำลัง โดยใช้สมการเบื้องต้นดังที่ได้กล่าวมาแล้ว เป็นการประมาณค่าของความคื้นที่เกิดขึ้นเท่านั้น ทั้งนี้ขึ้นอยู่กับการขบกันระหว่างเกลียวของสกรูและเปลี่ยนเกลียว ตลอดจนการกระจายของแรงบนเกลียวว่าจะเข้าใกล้กับสภาพที่ได้สมมติเอาไว้เพียงใด เกลียวที่อยู่ใกล้กับน้ำหนักอาจจะรับแรงมากกว่าเกลียวที่อยู่ห่างออกไป ความระหว่างสกรูและเปลี่ยนเกลียวอาจทำให้แรงกระจายไม่สม่ำเสมอ หรือการโถงของเกลียวอาจทำให้เกลียวบางเกลียวรับแรงมากเกินไป เป็นต้น ในการออกแบบควรจะคิดถึงส่วนต่างๆ ดังต่อไปนี้

ความคื้นวิกฤต (Critical or Buckling Stress) ใน การคำนวณหาขนาดของสกรูที่รับแรงกดแต่เพียงอย่างเดียว ถ้าเป็นสกรูสั้น ก็สามารถที่จะใช้สมการของความคื้นกด

$$\sigma_c = \frac{F}{A_r} \quad \dots \text{สมการที่ 2.5}$$

เมื่อ σ_c = ความคื้นอัด (N/mm^2)

F = แรงอัด (N)

A_r = พื้นที่รับแรง (mm^2)

เนื่องจากพื้นเกลียวจะช่วยรับแรงด้วย พื้นที่รับแรง A_r ก็ควรจะมีขนาดใหญ่กว่าพื้นที่ซึ่งคิดที่เส้นผ่านศูนย์กลางเล็ก ซึ่งอาจจะประมาณໄได้ว่าควรจะเส้นผ่านศูนย์กลางเล็กเท่ากับ เส้นผ่านศูนย์กลางเล็ก และเส้นผ่านศูนย์กลางพิเศษ เพื่อความสะดวกในการคำนวณจึงขอแนะนำให้ใช้พื้นที่ของเส้นผ่านศูนย์กลางเล็ก คำว่าสกรูสั้น ในที่นี้ หมายถึง สกรูซึ่งมีอัตราส่วนความเพรียว $Le/k < 40$ ถ้าหากสกรูมีอัตราส่วนความเพรียวมากกว่านี้ สกรูอาจเกิดการโถงงอขึ้นก่อนที่มีความคื้นจะถึงค่าที่กำหนดไว้ก็ได้ ในกรณีเช่นนี้การออกแบบสกรูต้องใช้สูตรของสถานสมการที่ (2.7) สำหรับสกรูที่มีความยาวปานกลางให้ใช้สูตรของหัวน้ำ

$$W = \frac{A_r(\sigma_y)}{N} \left[1 - \frac{\sigma_y (le/k)^2}{4\pi^2 E} \right] \quad \text{โดยที่ } 40 < le/k < 110 \quad \dots \text{สมการที่ 2.6}$$

เมื่อ W = แรงสั่งกำลัง

A_r = พื้นที่รับแรง

σ_y	=	ความคื้นจุดคราก
N	=	ค่าความปลดภัย
le	=	ค่าความยาวสมมูล
k	=	รัศมีไจเรชั่น
E	=	ค่าความยึดหยุ่น

สำหรับสกruยวาให้ใช้สูตรของอยเลอร์

$$W = \pi^2 EI / N(le^2) \quad \text{โดยที่ } le/k < 110 \quad \dots \text{ (สมการที่ 2.7)}$$

เมื่อ	W	= แรงส่งกำลัง
	E	= ค่าความยึดหยุ่น
	I	โมเมนต์เฉลี่ยของพื้นที่หน้าตัด
	N	ค่าความปลดภัย
	le	ค่าความยาวสมมูล

ถ้าวัสดุที่ใช้ทำตัวสกru ไม่ใช่เหล็กกล้า ค่าของความเพรียวที่แบ่งระหว่างการใช้สูตรของอยเลอร์และขอหันสันจะคำนวณได้จากสมการ

$$le/k = \left[2\pi^2 E / \sigma_y \right]^{1/2} \quad \dots \text{ (สมการที่ 2.8)}$$

เมื่อ	le/k	= อัตราส่วนความเพรียว
	E	= ค่าความยึดหยุ่น
	σ_y	ความคื้นจุดคราก

2.10 แรงเฉือนและโมเมนต์ดัดในคาน

2.10.1 ชนิดของคาน โดยแบ่งตามลักษณะของตัวรองรับ หรือแรงปฏิกริยา

1) คานอย่างง่าย (Simple Beam) คานชนิดนี้จะรองรับด้วยสลักยึดหรือลูกกลิ้งที่ตำแหน่งป้ำยคานทั้งสอง แรงปฏิกริยากระทำที่ป้ำยคานนั้นตั้งฉากกับคาน และไม่เกิดโมเมนต์แรงคู่ควบ

2) คานอย่างง่ายมีป้ำยยื่นเลย (Simple Beam with Overhang) คานชนิดนี้มีป้ำยคานด้านใดด้านหนึ่ง หรือทั้งสองด้านยื่นเลยตัวรองรับ

3) คานต่อเนื่อง (Continuous Beam) คานชนิดนี้ มีจุดรองรับมากกว่า 2 จุดขึ้นไป

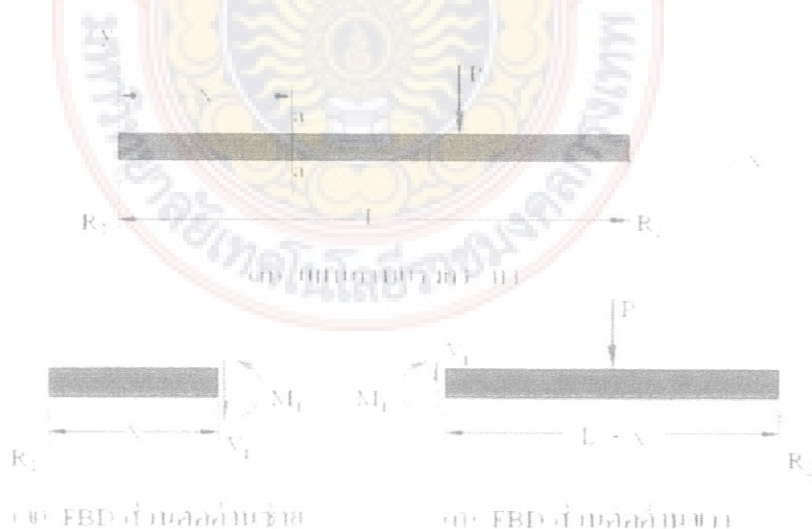
4) คานป้ำยยื่น (Cantilever Beam) คานชนิดนี้ ป้ำยคานด้านหนึ่งถูกยึดแน่นฝังในตัวผนังหรือจุดรองรับอย่างถาวร ซึ่งป้ำยคานด้านนี้ไม่สามารถเดือนตำแหน่งหรือหมุนได้

5) คานป้ำยตรึง (Fixed Beam) คานชนิดนี้ มีป้ำยทั้ง 2 ด้าน ยึดตรึงกับผนังหรือจุดรองรับอย่างถาวร และไม่สามารถหมุนได้

6) คานป้ำยตรึงป้ำยยื่นเลย (Cantilever Beam with Overhang) คานชนิดนี้ ป้ำยคานด้านหนึ่งยึดตรึงอย่างถาวร และป้ำยอีกด้านหนึ่งยื่นเลยจุดรองรับ

2.10.2 แรงเฉือน และโมเมนต์ดัดในคาน

พิจารณาภาพที่ 2.11 ของคานภาพ (ก) มีแรงกระ挺ปืนจุด P ซึ่งสมดุลกับแรงปฏิกริยาที่จุดรองรับ R_1 และ R_2 (ไม่คิดน้ำหนักของคาน) ที่ส่วนตัด $a-a$ แบ่งคานออกเป็น 2 ส่วน ในสภาพสมดุลของส่วนตัดแต่ละคาน จำเป็นต้องมีแรงเฉือนด้านของโมเมนต์ด้านแรงกระทำ ดังแสดงในภาพ (ข) และ (ค)



ภาพที่ 2.11 สภาพสมดุลของส่วนตัดทางด้านซ้ายและขวาของคาน

1) แรงเฉือนในคาน

แรงเฉือนในคาน (V) มีขบวนเดากับแรงเฉือนด้าน (V_d) แต่มีทิศทางตรงกันข้าม ดังนั้นแรงเฉือนบนหน้าตัดของ FBD (Free Body Diagram) ส่วนตัดของคานซ้ายสามารถคำนวณได้จากสมการที่ 2.9

$$V = (\sum F_y)L , \uparrow^+ \quad \dots \text{ (สมการที่ 2.9)}$$

ความหมายของสมการที่ 2.9 คือ แรงเฉือนในคานเดากับผลรวมของแรงภายในออกที่กระทำต่อ FBD ส่วนตัดของคานด้านซ้าย และกำหนดให้แรงภายในออกที่มีทิศทางขึ้นนี้เป็นบวก (+) เสมอ

2) โมเมนต์ตัดในคาน

โมเมนต์ตัดในคาน (M) ที่ส่วนตัดใดๆ พิจารณาจาก FBD ส่วนตัดของคานด้านใดก็ได้ โมเมนต์ตัดในคานมีขบวนเดากับโมเมนต์ด้าน (M_d) แต่มีทิศทางตรงกันข้าม เพื่อความสะดวกจะพิจารณาโมเมนต์ตัดบนหน้าตัดของ FBD ส่วนตัดของคานด้านซ้าย พนฯ

$$M = (\sum M)_L \quad \dots \text{ (สมการที่ 2.10)}$$

ความหมายของสมการที่ 2.10 คือ โมเมนต์ตัดในคานเดากับผลรวมของโมเมนต์เนื่องจากแรงภายในกรอบหน้าตัดของ FBD ส่วนตัดของคานด้านซ้าย และกำหนดให้โมเมนต์ในทิศทางตามเข็มนาฬิกาขึ้นนี้เป็นบวก (+) เสมอ



(a) ลักษณะ SFD และ BMD

(b) ลักษณะ SFD และ BMD

ภาพที่ 2.12 ลักษณะ SFD และ BMD ในคานภายใต้แรงกระทำเป็นจุดและแรงกระทำ

2.10.3 แผนภาพแรงเฉื่อน (SFD) และแผนภาพโมเมนต์ตัด (BMD)

ลักษณะของแผนภาพแรงเฉื่อน และแผนภาพโมเมนต์ตัดในคานนี้ จะขึ้นอยู่กับชนิดและแรงกระทำบนคาน ซึ่งชนิดและแรงกระทำบนคานดังกล่าว คือ แรงกระทำเป็นจุดและแรงกระทำเป็นบริเวณ พิจารณาบนคานยื่นในภาพที่ 2.12 พบว่า มี P เป็นแรงกระทำเป็นจุด และแรงกระทำเป็นบริเวณที่มีการกระจายของแรงต่อ 1 หน่วย ความยาวคานมีค่าเท่ากับ w มีหน่วยเป็น N/m

จากภาพที่ 2.12 (ก) พิจารณาส่วนตัด a-a ด้านซ้ายที่ระยะ x วัดจากปลายคาน จะได้

$$\begin{aligned} V &= -P && \dots \text{(สมการที่ 2.11)} \\ \text{เมื่อ } V &= (\sum F_y)L , \uparrow^+ && \dots \text{(อ้างอิงมาจากสมการที่ 2.9)} \end{aligned}$$

แสดงว่า SFD เป็นกราฟลี่ย์มุมจากใต้แกน X จะได้

$$\begin{aligned} M &= -Px && \dots \text{(สมการที่ 2.12)} \\ \text{เมื่อ } M &= (\sum M)_L && \dots \text{(อ้างอิงมาจากสมการที่ 2.10)} \end{aligned}$$

แสดงว่า BMD เป็นกราฟลี่ย์มุมจากใต้แกน X และโมเมนต์ต่ำสุดเท่ากับ $-PL$ ในภาพที่ 2.13 (ข) พิจารณาส่วนตัด a-a ด้านซ้ายที่ระยะ x วัดจากปลายคาน จะได้

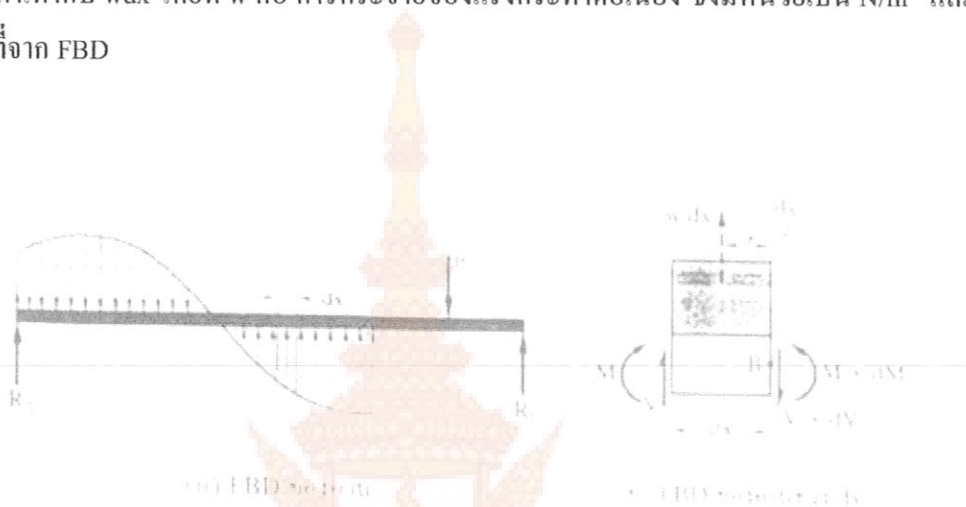
$$\begin{aligned} V &= -wx && \dots \text{(สมการที่ 2.13)} \\ \text{เมื่อ } V &= (\sum F_y)L , \uparrow^+ && \dots \text{(อ้างอิงมาจากสมการที่ 2.9)} \end{aligned}$$

แสดงว่า SFD เป็นกราฟลี่ย์มุมจากใต้แกน X และโมเมนต์ต่ำสุดเท่ากับ $-wL$ จะได้

$$\begin{aligned} M &= -wx^{(x/2)_f} = -wx^2/2 && \dots \text{(สมการที่ 2.14)} \\ \text{เมื่อ } M &= (\sum M)_L && \dots \text{(อ้างอิงมาจากสมการที่ 2.10)} \end{aligned}$$

แสดงว่า BMD เป็นกราฟลี่ย์มุมจากใต้แกน X

ความสัมพันธ์ระหว่างแรงเร่งเฉือน โมเมนต์ตัดและการกระจายแรงต่อ 1 หน่วย ความยาวคานพิจารณา FBD ของส่วนตัดของคานในช่วง dx ดังแสดงในภาพที่ 2.13 ผลของแรงภายในออกทำให้ด้านซ้ายของส่วนตัดถูกกระทำด้วยแรงเฉือน V และ โมเมนต์ตัด M และทางด้านขวาของส่วนตัดนี้จะถูกกระทำด้วยแรงเฉือน $V+dV$ และ โมเมนต์ $M+dM$ กำหนดให้มีแรงกระทำต่อคานในช่วง dx นั้น มีค่าเท่ากับ $w dx$ โดยที่ w คือ การกระจายของแรงกระทำต่อเนื้อง ซึ่งมีหน่วยเป็น N/m และมีค่าคงที่จาก FBD



ภาพที่ 2.13 คานภายใต้แรงกระทำกระจายต่อเนื่อง

2.10.4 ขั้นตอนในการสร้างแผนภาพแรงเฉือน (SFD)

- 1) จาก FBD ของคานทั้งหมด จะใช้สมการของสภาพสมดุลในการหาแรงปฏิกิริยาที่จุดรองรับ
- 2) เลือกส่วนตัดของคานแต่ละช่วงที่มีการเปลี่ยนแปลงของแรงกระทำ โดยในแต่ละช่วงนั้นจะเลือก FBD ของส่วนตัดของคานด้านซ้ายพิจารณาแรงเฉือนในคานและใช้สมการที่ 2.9 โดยในการพิจารณาแต่ละช่วงของคานนั้น จะพิจารณาตำแหน่งของส่วนตัดด้วยระยะทาง x วัดจากปลายคานด้านซ้ายเสมอ
- 3) นำผลการคำนวณของแรงเฉือนในขั้นตอนที่ 2 มาเขียนเป็น SFD พร้อมทั้งคำนวณตำแหน่ง ณ แรงเฉือนเป็นศูนย์

2.10.5 ขั้นตอนในการสร้างแผนภาพโมเมนต์ตัด (BMD)

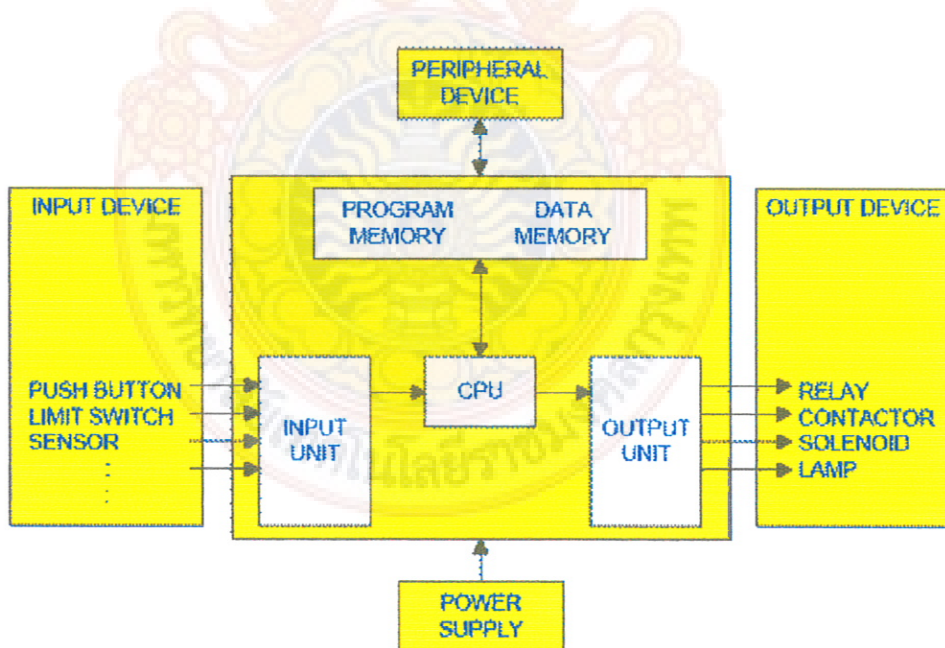
- 1) จาก FBD ของคานทั้งหมด จะใช้สมการของสภาพสมดุลในการหาแรงปฏิกิริยาที่จุดรองรับ

- 2) เลือก FBD ของส่วนตัดของงานด้านซ้าย และหาโนเมนต์ด้วยบันหน้าตัดของงานจากสมการที่ 2.10
- 3) นำผลการคำนวณของโนเมนต์ด้ดในขั้นตอนที่ 2 มาเขียนเป็น MBD พร้อมทั้งคำนวณหาโนเมนต์สูงสุดหรือต่ำสุด ณ ตำแหน่งที่แรงเฉือนเป็นศูนย์

2.11 Programmable Logic Controller (PLC)

PLC คือ เครื่องควบคุมอัตโนมัติที่สามารถสร้างโปรแกรมเพื่อพัฒนาด้วยภาษาที่สามารถใช้งานได้ เช่น ภาษา BASIC โดยข้อแตกต่างระหว่าง PLC กับ Computer มีดังนี้

- 1) PLC ถูกออกแบบและสร้างขึ้น เพื่อให้สามารถทนต่อสภาพแวดล้อมในโรงงานอุตสาหกรรมได้ดี
- 2) โปรแกรมการใช้งาน PLC สามารถทำได้ไม่ยุ่งยากเหมือนคอมพิวเตอร์ทั่วไป โดย PLC มีระบบการตรวจสอบตัวเองตั้งแต่ช่วงติดตั้ง จนถึงช่วงการใช้งานทำให้การบำรุงรักษาทำได้ง่าย
- 3) PLC มีความสามารถในการใช้งานหลากหลาย ในขณะที่คอมพิวเตอร์มีความยุ่งยากและซับซ้อนมากกว่า



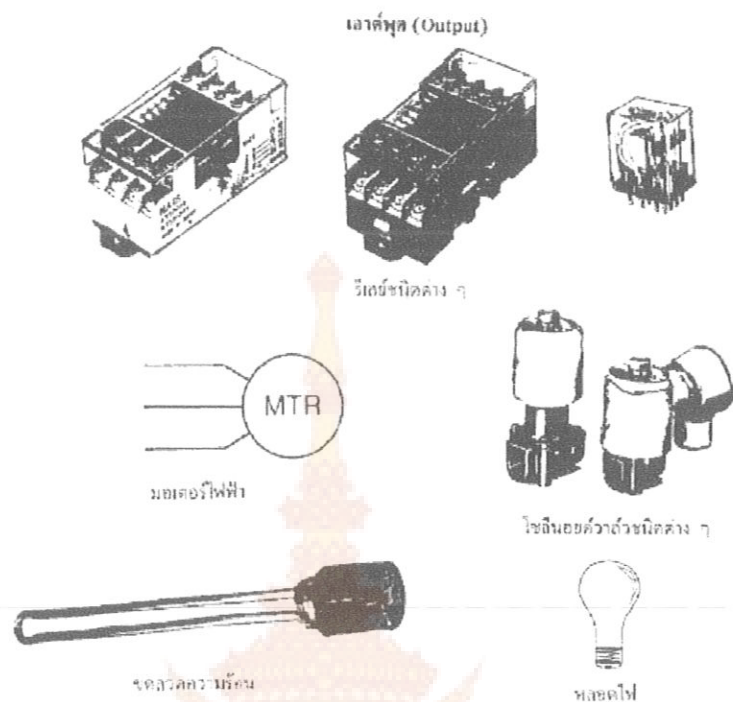
ภาพที่ 2.14 โครงสร้างภายในของ PLC

2.11.1 ตัวประมวลผล (CPU) ทำหน้าที่คำนวณและควบคุม ซึ่งเปรียบเสมือนสมองของ PLC ภายในประกอบด้วยวงจร Logic หลายชนิด ใช้แทนอุปกรณ์จำพวก Relay, Counter และ Timer เพื่อให้ผู้ใช้สามารถออกแบบระบบโดยใช้ Relay Ladder Diagram จะยอมรับข้อมูลจาก อุปกรณ์ Input ต่างๆ จากนั้นจะทำการประมวลผลและเก็บข้อมูลโดยใช้โปรแกรมจากหน่วยความจำ ส่งข้อมูลที่เหมาะสมและส่งไปยังอุปกรณ์ Output



ภาพที่ 2.15 ตัวอย่างอุปกรณ์ Input ในระบบ PLC

2.11.2 Input-Output Unit โดย Input จะทำหน้าที่รับสัญญาณจากอุปกรณ์ภายนอกแล้วแปลง สัญญาณให้เป็นสัญญาณที่เหมาะสม จากนั้นส่งให้หน่วยประมวลผลต่อไป ดังแสดงในภาพที่ 2.15 และภาพที่ 2.16 ส่วน Output จะทำหน้าที่รับข้อมูลจากตัวประมวลผลแล้วส่งต่อไปควบคุมอุปกรณ์ภายนอก เช่น หลอดไฟ, มอเตอร์ และวาล์ว เป็นต้น



ภาพที่ 2.16 ตัวอย่างอุปกรณ์ Output ในระบบ PLC



บทที่ 3

วิธีการดำเนินงาน

3.1 บทนำ

การดำเนินการศึกษาหลักการของการเคลื่อนสีอุณหภูมิเนี่ยมด้วยวิธีการอะโนไคซ์ เพื่อทำการออกแบบและจัดสร้างเครื่องเคลื่อนสีอุณหภูมิเนี่ยมด้วยวิธีการอะโนไคซ์ โดยมีเงื่อนไขให้สามารถเคลื่อนสีอุณหภูมิเนี่ยมตามคุณภาพที่กำหนดได้ ซึ่งประสิทธิภาพระบบการทำงานของเครื่องจักรดังกล่าวจะถูกควบคุมการทำงานด้วยระบบ PLC (Programmable Logic Controller) เพื่อให้ได้มาซึ่งชิ้นงานภายหลังการเคลื่อนสีด้วยวิธีการอะโนไคซ์ที่มีคุณภาพ

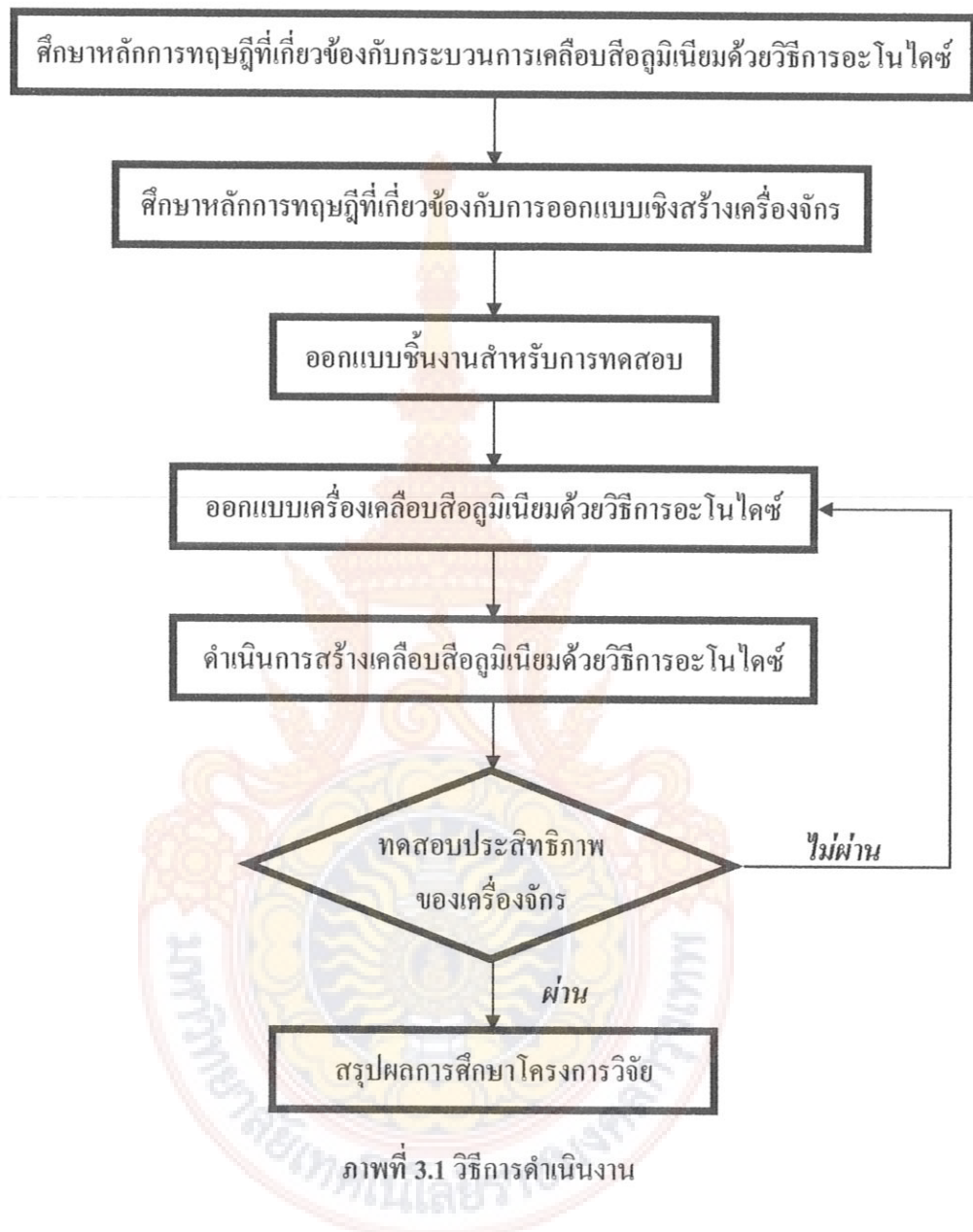
3.2 การวางแผนการดำเนินงาน

การวางแผนการดำเนินงาน และการเตรียมการจัดทำแผนการดำเนินงานนี้ เพื่อให้การดำเนินงานเป็นไปตามเป้าหมายในช่วงเวลาที่กำหนด

ตารางที่ 3.1 แผนการดำเนินงานโครงการวิจัย

ลำดับขั้นตอน	ระยะเวลาการดำเนินงาน 2553			
	มิ.ย.	ก.ค.	ส.ค.	ก.ย.
1. ศึกษาทฤษฎีและงานวิจัยที่เกี่ยวข้องกับกระบวนการเคลื่อนสีอุณหภูมิเนี่ยมด้วยวิธีการอะโนไคซ์	↔			
2. ศึกษาทฤษฎีและงานวิจัยที่เกี่ยวข้องกับการออกแบบเชิงสร้างเครื่องจักร	↔			
3. ออกแบบชิ้นงานสำหรับการทดสอบเครื่องเคลื่อนสีอุณหภูมิเนี่ยมด้วยวิธีการอะโนไคซ์	↔			
4. ออกแบบเครื่องเคลื่อนสีอุณหภูมิเนี่ยมด้วยวิธีการอะโนไคซ์		↔		
5. ดำเนินการสร้างเครื่องเคลื่อนสีอุณหภูมิเนี่ยมด้วยวิธีการอะโนไคซ์			↔	
6. ทดสอบประสิทธิภาพของเครื่องเคลื่อนสีอุณหภูมิเนี่ยมด้วยวิธีการอะโนไคซ์			↔	
7. สรุปผลการศึกษาโครงการวิจัย				↔

3.3 วิธีการดำเนินงาน



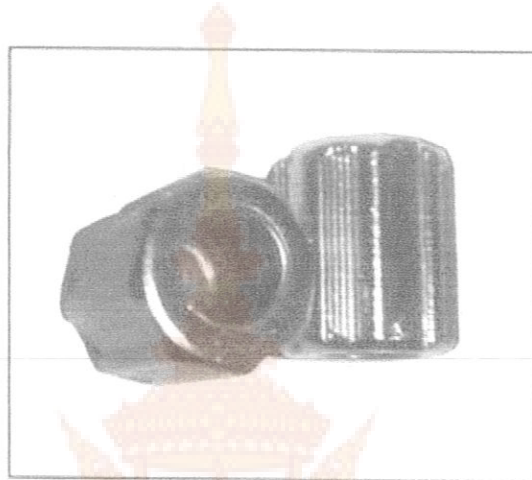
3.4 การศึกษาข้อมูลและทฤษฎีที่เกี่ยวข้อง

การศึกษาข้อมูลและค้นคว้าทฤษฎีที่เกี่ยวข้อง เพื่อที่จะนำมาประยุกต์ใช้ในการสร้างเครื่องเคลื่อนสื่อสารมิเนียมด้วยวิธีการอะโนไดซ์ รวมไปถึงการกำหนดรายละเอียดของโครงการวิจัย

3.5 การกำหนดรายละเอียดของงาน

3.5.1 การกำหนดขนาดชิ้นงาน

โครงการวิจัยนี้ มีการกำหนดขนาดชิ้นงานทดสอบเป็นวัสดุอุบลภูมิเนียมที่มีขนาดเส้นผ่านศูนย์กลาง 10 มิลลิเมตร ยาว 12 มิลลิเมตร โดยทำแกะลึกไว้ใน ดังแสดงในภาพที่ 3.2



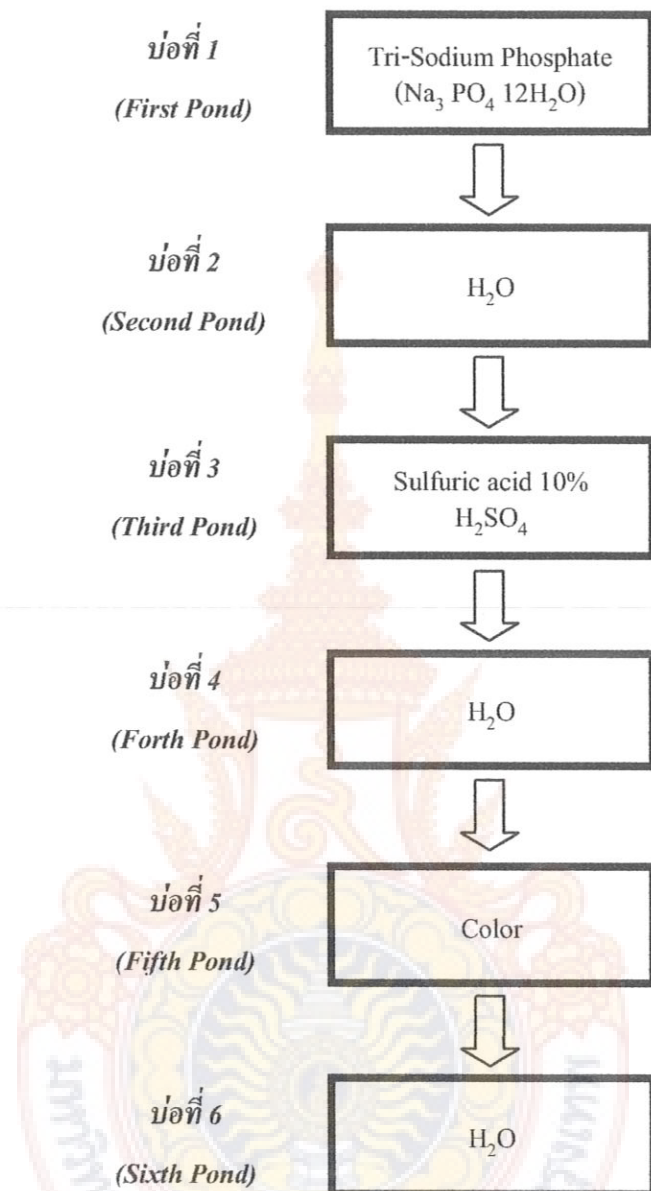
ภาพที่ 3.2 ชิ้นงานทดสอบสำหรับเครื่องเคลือบสีอุบลภูมิเนียมด้วยวิธีการอะโนไคซ์

3.5.2 การออกแบบน่อเคลือบสีอุบลภูมิเนียมด้วยวิธีการอะโนไคซ์

น่อเคลือบสีอุบลภูมิเนียมจะถูกออกแบบให้สามารถเคลือบสีชิ้นงานอุบลภูมิเนียมได้ครั้งละ 20 ชิ้น ซึ่งได้กำหนดให้บ่อ มีขนาดกว้าง 200 ยาว 300 สูง 200 มิลลิเมตร วัสดุเป็นอะคริลิก (Acrylic) ซึ่งมีคุณสมบัติน้ำหนักเบา โดยมีน้ำหนักเพียงครึ่งหนึ่งของน้ำหนักแผ่นกระดาษเดียวกัน เป็นอนุวัณณความร้อนและอนุวนไฟฟ้าได้ สามารถต้านแรงกระแทกได้มากกว่ากระดาษถึง 15 เท่า ไม่ทำปฏิกิริยา กับสารละลายเกลือ, สารเคมี, น้ำมัน เชื้อเพลิง เช่น ก๊าซโซลิน เป็นต้น

3.5.3 ขั้นตอนการเคลือบสีอุบลภูมิเนียมด้วยวิธีการอะโนไคซ์

จากการศึกษาและค้นคว้าทางภูมิที่เกี่ยวข้องกับการเคลือบสีอุบลภูมิเนียมด้วยวิธีการอะโนไคซ์ รวมไปถึงการทดลองเคลือบสีอุบลภูมิเนียมด้วยวิธีการอะโนไคซ์ในเบื้องต้น พบว่า กระบวนการเคลือบสีอุบลภูมิเนียมด้วยวิธีการอะโนไคซ์นั้น สามารถแสดงรายละเอียดของกระบวนการดังกล่าวในแต่ละบ่อดังแสดงในภาพที่ 3.3



ภาพที่ 3.3 กระบวนการเคลือบสีอุ่มเนี่ยมด้วยวิธีการอะโนไดซ์

จากภาพที่ 3.3 สามารถอธิบายกระบวนการเคลือบสีอุ่มเนี่ยมด้วยวิธีการอะโนไดซ์ในแต่ละ步骤 ได้ดังต่อไปนี้

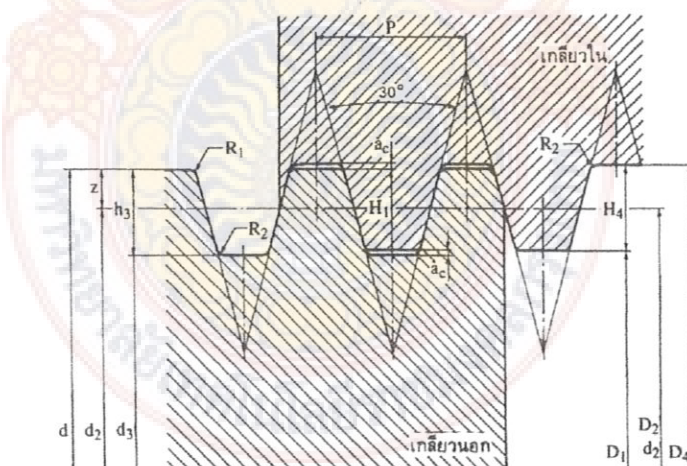
- 1) บ่อที่ 1 เป็นการล้างไห้ออกด้วยสารละลายโซเดียมฟอสเฟต 10 วินาที
- 2) บ่อที่ 2 ล้างทำความสะอาดผิวด้วยน้ำเปล่า โดยให้น้ำไหลผ่านชั้นงาน 10 วินาที

- 3) บ่อที่ 3 เป็นการทำอะโนไดซ์โดยใช้สารละลายกรดซัลฟูริก 10% ของปริมาณน้ำ โดยใช้แหล่งจ่ายไฟฟ้ากระแสตรง (DC) ความหนาแน่นกระแส 4.5 Amp./ml ความต่างศักย์ไฟฟ้า 24 v โดยใช้ชิ้นงานเป็น Anode ส่วนตะกั่วเป็น Cathode ใช้เวลา 4-5 นาที
- 4) บ่อที่ 4 ล้างชิ้นงานด้วยน้ำเปล่าอีกครั้ง ใช้เวลา 5 วินาที
- 5) บ่อที่ 5 หลังจากที่อุณหภูมิเนี่ยนผ่านการทำอะโนไดซ์แล้ว นำมาชุบให้เป็นสีต่างๆ โดยจุ่มลงในสารละลายสีที่สามารถเกะจีดีบนผิวอุณหภูมิเนี่ยนออกไซด์ได้ ใช้เวลา 10 นาที
- 6) บ่อที่ 6 ผิวอุณหภูมิเนี่ยนออกไซด์ที่ได้นี้ อาจเป็นด่างเป็นวงศ์ได้ง่าย และมีรูพรุนอยู่บ้าง จึงต้องนำมาเคลือบปิดผิวอีกครั้งหนึ่ง โดยจุ่มลงในน้ำ ใช้เวลา 10 นาที

ระยะเวลารวมที่ยกับกระบวนการเคลือบสีอุณหภูมิเนี่ยนด้วยวิธีการทำอะโนไดซ์ทั้งหมดโดยเฉลี่ย 25.30 นาที และระยะเวลาในการเคลือบที่ไปในแต่ละบ่อโดยเฉลี่ย 2 นาที ซึ่งมีจำนวนทั้งหมด 6 บ่อ ดังนั้นใช้ระยะเวลาในการเคลือบที่ไปในแต่ละบ่อทั้งหมดโดยเฉลี่ย 12 นาที สรุประยะเวลารวมทั้งหมดของเครื่องเคลือบสีอุณหภูมิเนี่ยนด้วยวิธีการทำอะโนไดซ์ทั้งหมดโดยเฉลี่ย 37.30 นาที

3.6 การออกแบบชิ้นส่วนเครื่องเคลือบสีอุณหภูมิเนี่ยนด้วยวิธีการทำอะโนไดซ์

3.6.1 การออกแบบสกรูส่างกำลังเพื่อบาบชุดเคลือบที่



ภาพที่ 3.4 ขนาดต่างๆ ของเกลียว

โดยที่ a_c คือ ช่องว่างบนยอดฟัน

D_4 คือ เส้นผ่านศูนย์กลางไขลูกของเกลียวใน

D_1 คือ เส้นผ่านศูนย์กลางน้อยของเกลียวใน

- D_2 คือ เส้นผ่านศูนย์กลางพิเศษของเกลียวใน
 d คือ เส้นผ่านศูนย์กลางใหญ่ของเกลียวนอก
 d_3 คือ เส้นผ่านศูนย์กลางน้อยของเกลียวนอก

การคำนวณหาค่าความคืนที่เกิดขึ้นนั้น ในการออกแบบ ได้ทำการเลือกใช้วัสดุมาตรฐาน AISI 1010 ซึ่งมีค่า Yield Strength (σ_y) ของเหล็ก AISI 1010 เท่ากับ 42 ksi

$$\begin{aligned}\sigma_y &= 42 \times 6.895 \\ &= 289.59 \text{ N/mm}^2\end{aligned}$$

เลือกใช้ค่าความปลอดภัย (Safety Factor : N) เท่ากับ 3.5

$$\begin{aligned}\sigma &= \sigma_y / N \\ &= 289.59 / 3.50 \\ &= 82.74 \text{ N/mm}^2\end{aligned}$$

3.6.2 การคำนวณหาขนาดของสกรูส่งกำลัง

$$\begin{aligned}W &= \sigma_y (A) \\ 20 \times 9.81 &= 82.74 (\pi d^2 / 4) \\ d &= 3.02 \text{ mm}\end{aligned}$$

เพื่อเป็นการลดดันทุนในการสร้างเครื่องเคลื่อนสื่อสารมิเนียมด้วยวิธีการอะโนไดซ์ จึงทำการเลือกมาตรฐานสกรูส่งกำลังที่มีขาหน่ายโดยทั่วไป ซึ่งมีราคาถูก ดังนั้นจึงเลือกใช้มาตรฐานสกรูส่งกำลังขนาด 12 mm ดังแสดงในตารางที่ 3.2 ซึ่งมีขนาดเส้นผ่านศูนย์กลางใหญ่กว่า 3.02 mm กล่าวคือ สามารถรับภาระงานได้เพียงพอ

ตารางที่ 3.2 ฐานข้อมูลในการเลือกขนาดของสกรูสำหรับลัง

ขนาดระบุ			ระบบพิเศษ p	$d_2 = D_2$	D_4	d_3	D_2
ช่องที่ 1	ช่องที่ 2	ช่องที่ 3					
8			1.5	7.250	8.300	6.200	6.500
9			1.5	8.250	9.300	7.200	7.500
			*2	8.000	9.500	6.500	7.000
10			1.5	9.250	10.300	8.200	8.500
			*2	9.000	10.500	7.500	8.000
11			2	10.000	11.500	8.500	9.000
			*3	9.500	11.500	7.500	8.000
12			2	11.000	12.500	9.500	10.000
			*3	10.500	12.500	8.500	9.000
14			2	13.000	14.500	11.500	12.000
			*3	12.500	14.500	10.500	11.000
16			2	15.000	16.500	13.500	14.000
			*4	14.000	16.500	11.500	12.000

การรับแรงสูงสุดที่ 20 kg ระยะ 300 mm

จากตารางที่ 3.2 $d_3 = d_r = 9.5 \text{ mm}$

ปลายเกลียวทั้ง 2 ด้านมีจุดรองรับ จะได้

$$\begin{aligned}
 L_e &= 0.707(L) \\
 &= 0.707(300) \\
 &= 212.1 \text{ mm}
 \end{aligned}$$

รัศมีไโรเจชัน (k)

$$\begin{aligned}
 k &= 9.5/4 \\
 &= 2.375 \text{ mm}
 \end{aligned}$$

$$\begin{aligned}
 \text{เพราะตอนนี้} \quad L_e/k &= 212.1 / 2.375 \\
 &= 89.305 \text{ mm}
 \end{aligned}$$

จะเห็นได้ว่า L_e/k อยู่ในช่วงสมการของหัตถ์สัน ดังนั้นจึงต้องตรวจสอบน้ำหนักที่สกรูส่งกำลังสามารถรับได้ใหม่

$$\text{โดยที่ } \begin{aligned} W &= \frac{A_r \sigma_y}{N} \times \left(1 - \left[\frac{\sigma_y (L_e/k)^2}{4\pi^2 E} \right] \right) \\ A_r &= \frac{\pi (9.5)^2}{4} \\ &= 70.88 \text{ mm}^2 \end{aligned}$$

ค่า Elastic Modulus (E) ของเหล็ก AISI 1010 มีค่าเท่ากับ $210,000 \text{ MN/mm}^2$

$$\text{แทนค่า } \begin{aligned} W &= \left(\frac{70.88 \times 289.59}{3.5} \right) \times \left(1 - \left(\frac{289.59 \times (2.375)^2}{4\pi^2 (210,000)} \right) \right) \\ &= 5863.4 \text{ N} \quad \text{หรือ} \quad 597.69 \text{ kg} \end{aligned}$$

ดังนั้นเลือกใช้สกรูขนาด TR 12×2 จึงจะใช้งานได้อย่างปลอดภัย เนื่องจากสามารถรับภาระงานได้สูงสุดถึง 597.69 kg ในขณะที่ภาระงานจริงที่ได้รับสูงสุดเพียง 20 kg

3.6.3 การคำนวณขนาดของมอเตอร์

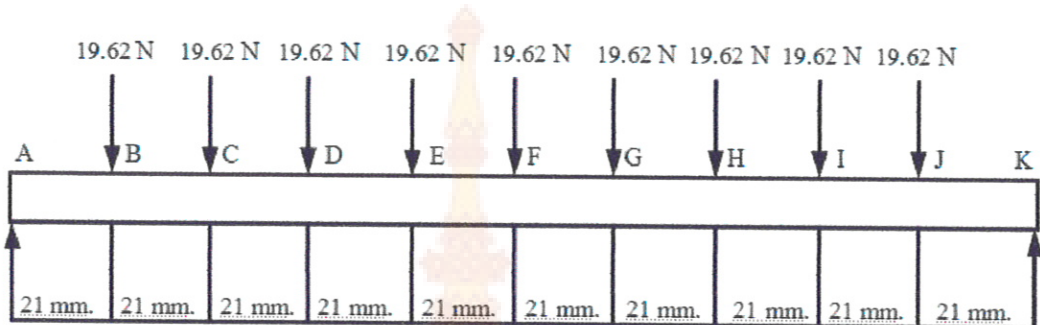
เกลียวชนิด 1 ปาก (Single Thread) โดยระยะนำมีค่าเท่ากับระยะพิเศษ ($P=2 \text{ mm}$) ดังนั้นระยะทางที่เกลียวหมุน 1 รอบ จะเคลื่อนที่ 2 mm และออกแบบความยาวของแต่ละบ่อเท่ากับ 200 mm หากเลือกใช้มอเตอร์ที่มีความเร็วรอบ 60 rpm ระยะเวลาที่ใช้ในการเคลื่อนที่ในแต่ละบ่อจะใช้เวลา 2 นาที ดังนั้นการคำนวณขนาดของมอเตอร์ จะได้

$$\text{โดยที่ } \begin{aligned} P &= T(\omega) \\ &= (T) \left[\frac{2(\pi)(N)}{60} \right] \\ \text{ดังนั้น } T &= F(R) \\ T &= [20(9.81)](6) \\ &= 1177.2 \text{ N.mm} \quad \text{หรือ} \quad 1.1722 \text{ N.m} \\ \text{แทนค่า } P &= (1.1722) \left[\frac{2(\pi)(60)}{60} \right] \\ &= 7.39 \text{ Watt} \quad \text{หรือ} \quad 0.0099 \text{ Hp} \end{aligned}$$

โครงการวิจัยนี้ จึงเลือกใช้มอเตอร์ขนาด 0.5 Hp

3.6.4 การคำนวณหาแรงสูงสุดที่กระทำต่อคานยกชิ้นงาน

ชิ้นงานทดสอบกับเครื่องเคลื่อนศีลโภตมินิยมด้วยวิธีการอะโนไดซ์ มีน้ำหนักสูงสุด 2 kg หรือ 19.62 N ต่อการทำงาน ซึ่งจำนวนในการชุบแต่ละครั้ง คือ 9 ชิ้น เมื่อเขียนแรงที่กระทำกับคานทั้งหมด สามารถแสดงໄล์จากภาพที่ 3.5



ภาพที่ 3.5 แรงทั้งหมดที่กระทำกับคานเนื่องมาจากการน้ำหนักของชิ้นงานทดสอบ

Take Moment รอบจุด A ; $[\sum M = 0]$

$$\begin{aligned} R_K(210) &= (19.62 \times 21) + (19.62 \times 42) + (19.62 \times 63) + (19.62 \times 84) + (19.62 \times 105) \\ &\quad + (19.62 \times 126) + (19.62 \times 147) + (19.62 \times 168) + (16.62 \times 189) \\ &= -88.29 \text{ N} \end{aligned}$$

$$\begin{aligned} R_A &= 19.62 + 19.62 + 19.62 + 19.62 + 19.62 + 19.62 + 19.62 - 88.29 \\ &= -88.29 \text{ N} \end{aligned}$$

Bending Moment Diagram ; BMD

ช่วง AB ; BM เป็นเส้นตรงเริ่มจาก $M_A = 0$ ถึง $M_B = +(88.29 \times 21) = 1854.09 \text{ N.mm}$

ช่วง BC ; BM เป็นเส้นตรงเริ่มจาก $M_B = 1854.09 \text{ N.mm}$ ถึง M_C

$$\begin{aligned} M_C &= (88.29 \times 42) - (19.62 \times 21) \\ &= 3296.16 \text{ N.mm} \end{aligned}$$

ช่วง CD ; BM เป็นเส้นตรงเริ่มจาก $M_C = 3296.16 \text{ N.mm}$ ถึง M_D

$$\begin{aligned} M_D &= (88.29 \times 63) - (19.62 \times 41) - (19.62 \times 21) \\ &= 4326.21 \text{ N.mm} \end{aligned}$$

ช่วง DE ; BM เป็นเส้นตรงเริ่มจาก $M_D = 4326.21 \text{ N.mm}$ ถึง M_E

$$\begin{aligned} M_E &= (88.29 \times 84) - (19.62 \times 63) - (19.62 \times 42) - (19.62 \times 21) \\ &= 9888.48 \text{ N.mm} \end{aligned}$$

ช่วง EF ; BM เป็นเส้นตรงเริ่มจาก $M_E = 9888.48 \text{ N.mm}$ ถึง M_F

$$\begin{aligned} M_F &= (88.29 \times 105) - (19.62 \times 84) - (19.62 \times 63) - (19.62 \times 42) \\ &\quad - (19.62 \times 21) \\ &= 5140.80 \text{ N.mm} \end{aligned}$$

ช่วง FG ; BM เป็นเส้นตรงเริ่มจาก $M_F = 9888.48 \text{ N.mm}$ ถึง M_G

$$\begin{aligned} M_G &= (88.29 \times 126) - (19.62 \times 105) - (19.62 \times 84) - (19.62 \times 63) \\ &\quad - (19.62 \times 42) - (19.62 \times 21) \\ &= 4944.24 \text{ N.mm} \end{aligned}$$

ช่วง GH ; BM เป็นเส้นตรงเริ่มจาก $M_G = 9888.48 \text{ N.mm}$ ถึง M_H

$$\begin{aligned} M_H &= (88.29 \times 147) - (19.62 \times 126) - (19.62 \times 105) - (19.62 \times 84) \\ &\quad - (19.62 \times 63) - (19.62 \times 42) - (19.62 \times 21) \\ &= 4326.21 \text{ N.mm} \end{aligned}$$

ช่วง HI ; BM เป็นเส้นตรงเริ่มจาก $M_H = 9888.48 \text{ N.mm}$ ถึง M_I

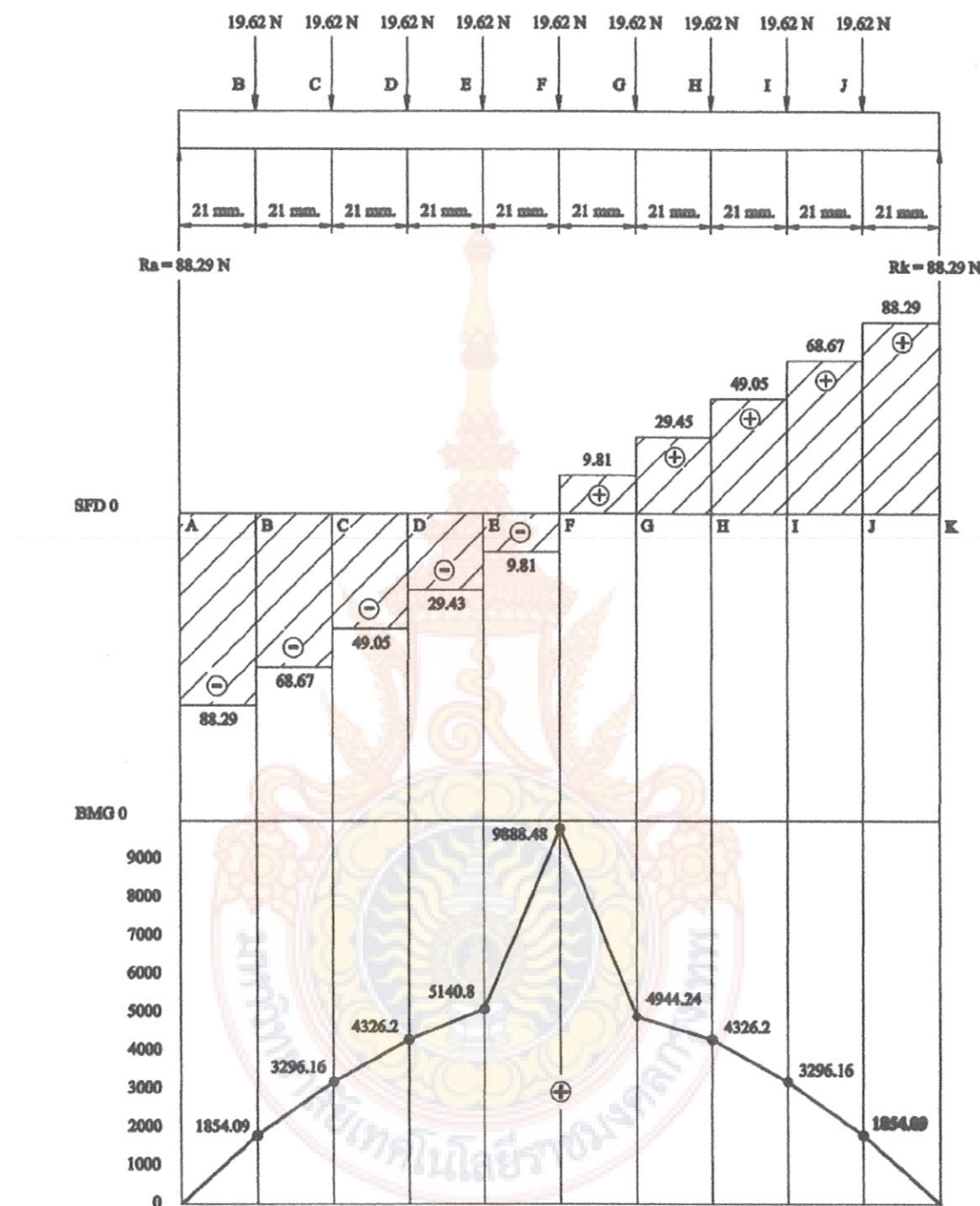
$$\begin{aligned} M_I &= (88.29 \times 168) - (19.62 \times 147) - (19.62 \times 126) - (19.62 \times 105) \\ &\quad - (19.62 \times 84) - (19.62 \times 63) - (19.62 \times 42) - (19.62 \times 21) \\ &= 3296.16 \text{ N.mm} \end{aligned}$$

ช่วง IJ ; BM เป็นเส้นตรงเริ่มจาก $M_I = 9888.48 \text{ N.mm}$ ถึง M_J

$$\begin{aligned} M_J &= (88.29 \times 189) - (19.62 \times 168) - (19.62 \times 147) - (19.62 \times 126) \\ &\quad - (19.62 \times 105) - (19.62 \times 84) - (19.62 \times 63) - (19.62 \times 42) \\ &\quad - (19.62 \times 21) \\ &= 1854.09 \text{ N.mm} \end{aligned}$$

ช่วง JK ; BM เป็นเส้นตรงเริ่มจาก $M_J = 9,888.48 \text{ N.mm}$ ถึง M_K

$$\begin{aligned} M_K &= (88.29 \times 189) - (19.62 \times 168) - (19.62 \times 147) - (19.62 \times 126) \\ &\quad - (19.62 \times 105) - (19.62 \times 84) - (19.62 \times 63) - (19.62 \times 42) \\ &\quad - (19.62 \times 21) + 1,854.09 \\ &= 0 \text{ N.mm} \end{aligned}$$



ภาพที่ 3.6 แผนภาพความเค้นดัดและความเค้นเฉือนจากน้ำหนักของชั้นงานทดสอบ

จาก BMD และ SFD ในภาพที่ 3.6 พบว่า โมเมนต์ดัดสูงสุดมีค่า $9,888.48 \text{ N.mm}$ (ทิศทาง+) คำนวณหาโมเมนต์ความเฉื่อย (I) รอบ N.A.

$$\begin{aligned} I_{N.A.} &= bh^3/12 \\ &= 30(20)^3/12 \\ &= 20,000 \text{ mm}^4 \end{aligned}$$

พิจารณาหาค่าความเค้นสูงสุด เมื่อ $C = 10 \text{ mm}$ จะได้

$$\begin{aligned} \sigma_{max} &= Mc/I \\ &= (9,888.48 \times 10) / 20,000 \\ &= 4,944 \text{ N/mm}^2 \end{aligned}$$

3.6.5 การคำนวณหานาคของเสาชุดขับเคลื่อน

โครงสร้างวิจัยนี้ จะเลือกใช้วัสดุเหล็ก St 37 หรือ AISI 1010 ซึ่งมีค่า Yield Strength (σ_y) เท่ากับ 42 ksi และเลือกใช้ค่าความปลอดภัย (Safety Factor : N) เท่ากับ 3.5 จะได้

$$\begin{aligned} \sigma &= \sigma_y/N \\ &= 289.59/3.5 \\ &= 82.74 \text{ N/mm}^2 \end{aligned}$$

รับแรงสูงสุดที่ 20 kg ดังนั้น ขนาดของเส้า จะได้

$$\begin{aligned} F &= \sigma(A) \\ 20(9.81) &= 82.74 \left(\frac{\pi d^2}{4} \right) \\ d &= \sqrt{\frac{20(9.81)(4)}{\pi(82.74)}} \\ &= 1.73 \text{ mm} \end{aligned}$$

ดังนั้นจะต้องผลิตเพลาที่ทำจากวัสดุเหล็ก St 37 หรือ AISI 1010 ขนาด 3.02 mm จึงจะสามารถรับ Load = 20 kg ได้เพียงพอ แต่เพื่อเป็นการตรวจสอบต่อการผลิตขึ้นส่วนของเครื่องเคลื่อนตัว ขอรุ่มเนียบด้วยวิธีการอ้างโน้ตว่า จึงเลือกใช้เพลามาตรฐานขนาด 8 mm ซึ่งสามารถรับ Load = $4,156.85 \text{ N/mm}^2$ ตามความต้องการ ได้เช่นกัน

3.6.6 សក្រើឯកមនុញ្ញោរ

โครงการวิจัยนี้ จะเลือกใช้สกรูขนาด M4×1.75 ซึ่งมีขีดade เส้นผ่าศูนย์กลาง โคนกลีบยาว 3.24 mm คำนวณหาความถี่เดินดึง (σ_t) ที่เกิดขึ้นกับสกรู

$$\sigma_t = F/A$$

$$\text{เมื่อ } F = \text{คือ } \text{แรงกระทำที่ยึดมอเตอร์} = 196.2 \text{ N}$$

$$A \text{ คือ พื้นที่รับแรงดึง} = \pi(3.24)^2/4 = 8.24 \text{ mm}^2$$

$$\text{แทนค่า } \sigma_{\tau} = 196.2/8.24 \\ = 23.81 \text{ N/mm}^2$$

$$\text{สกรู } 4 \text{ ตัว รับแรงดึงตัวละ} = 23.81/4 = 5.95 \text{ N/mm}^2$$

พิจารณากรดความแข็งแรงของสกรูขนาด $M4 \times 1.75$ จากตารางที่ 3.3 กรดความแข็งแรงแบบ (Static) ของ $M4 \times 1.75$ มีค่าเท่ากับ 10.9 kN จากนั้นนำไปพิจารณาคุณสมบัติทางกลของสลักเกลียวจากตารางที่ 3.4 ค่ากรดความแข็งแรง 10.9 kN จะได้ความต้านแรงดึงต่ำสุด $1,000 \text{ N/mm}^2$ ซึ่งเพียงพอที่จะรับรับแรงดึง $= 5.95 \text{ N/mm}^2$

ตารางที่ 3.3 ค่ามาตรฐานสำหรับการพิจารณาเลือกແກນສັບເກລື່ອງ

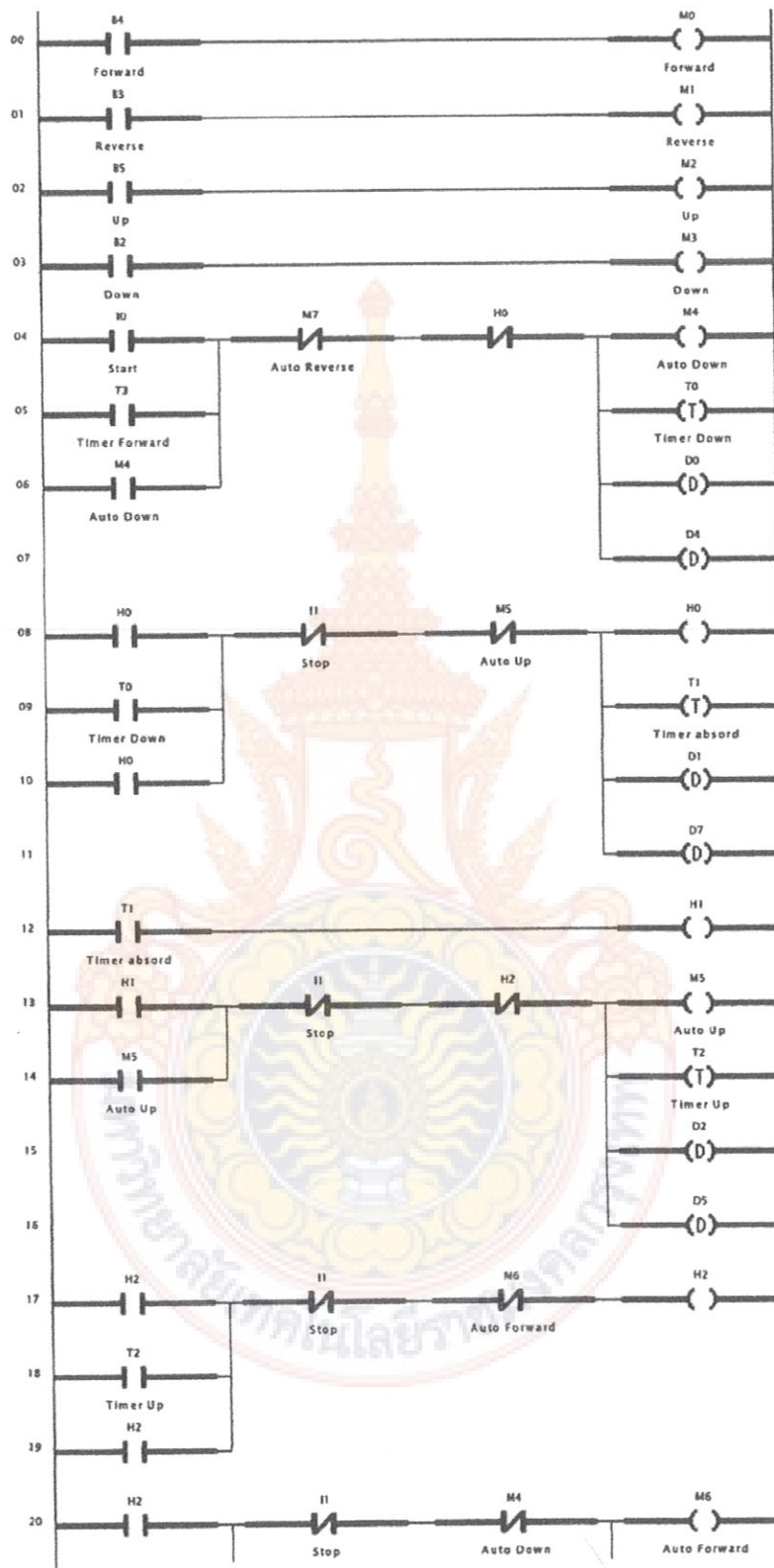
ค่ามาตรฐานสำหรับการพิจารณาเลือกแกนสลักเกลียว								
การรับแรง (Load)		แรงใช้งานที่สลักเกลียวต้องรับ $F_B^{(1)}$ เป็น kN						
Static		2.5	4	6.3	10	16	25	40
Dynamic		1.6	2.5	4	6.3	10	16	25
เกรดความต้านทาน	4.8 , 5.6	M6	M8	M10	M12	M16	M20	M24
	5.8 , 6.8	M5	M6	M8	M10	M12	M16	M20
	8.8	M5	M6	M8	M8	M10	M16	M16
	10.9	M4	M5	M6	M8	M10	M12	M16
	12.9	M4	M5	M5	M8	M8	M10	M12

ตารางที่ 3.4 คุณสมบัติทางกลของสลักเกลียว

คุณสมบัติทางกล	เกรดความแข็งแรง											
	3.6	4.6	4.8	5.6	5.8	6.6	6.8	6.9	8.8	10.9	12.9	14.9
ความต้านทานแรงดึงตัวสุด (N/mm^2)	340	400		500		600		800	1000	1200	1400	
สูงสุด (N/mm^2)	490		550		700		800		100 0	1200	1400	1600
ความต้านทานแรงดึงครากตัวสุด (N/mm^2)	200	240	320	300	400	360	480	-	-	-	-	-

3.6.7 การออกแบบระบบควบคุมตัวยกระดับ PLC

การออกแบบระบบควบคุมตัวยกระดับ PLC (Programmable Logic Controller) เพื่อใช้ในการสั่งงานอุปกรณ์ต่างๆ ของเครื่องเคลื่อนที่อยู่ในนิยมด้วยวิธีการอะโนนไดซ์ ได้แก่ มอเตอร์ (Motor) และลิมิตสวิตช์ (Limit Switch) เป็นต้น ให้เป็นไปตามเงื่อนไขการทำงานที่ได้กำหนดหน้าที่ของลิมิตสวิตช์จะสั่งงานให้มอเตอร์หยุด คำแนะนำได้ ทำการซับ คำแนะนำได้ ใช้เวลาในการซับเท่าไหร่ จักนั้นทำการซับในคำแนะนำต่างๆ ต่อไปจนครบรอบการทำงาน ซึ่งการออกแบบระบบควบคุมตัวยกระดับ PLC สามารถแสดงได้ดังภาพที่ 3.7

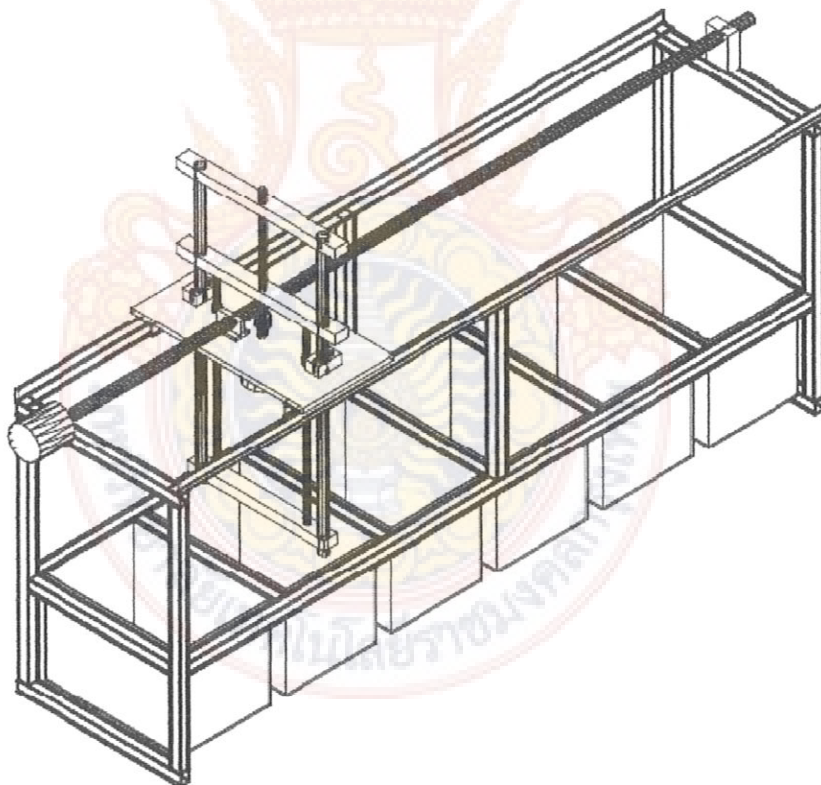


ภาพที่ 3.7 แม็ปวงจรควบคุมระบบ PLC

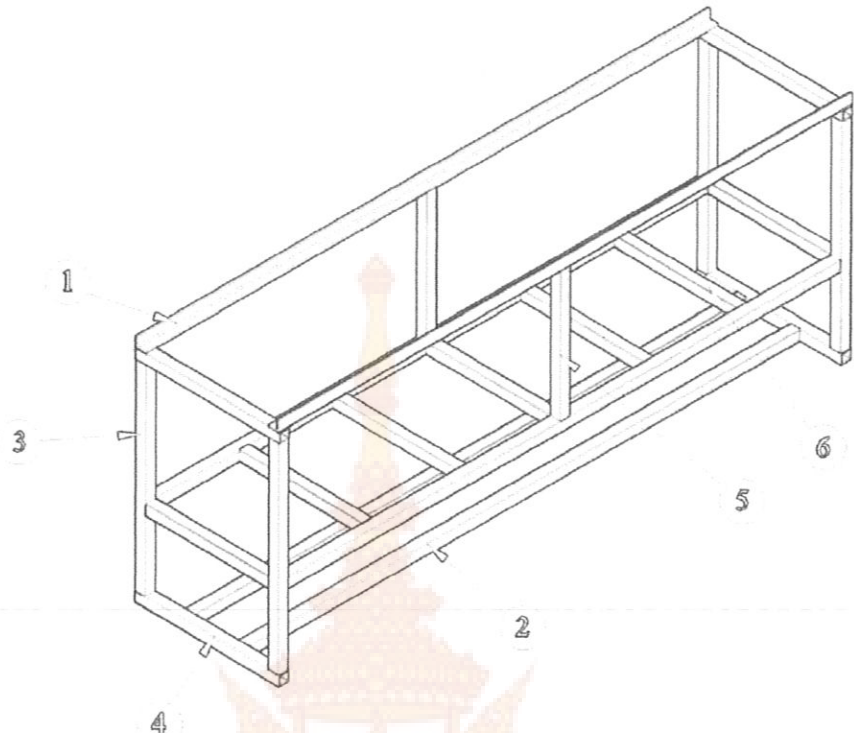
3.7 การสร้างเครื่องเคลื่อนสีอุ Lumini เนียนด้วยวิธีการอะโนไดซ์

เพื่อให้การดำเนินงานเป็นไปตามแผนและบรรลุเป้าหมาย จึงได้แบ่งขั้นตอนการดำเนินงานออกเป็นลำดับ ดังต่อไปนี้

- 1.7.1 ก่อนเริ่มดำเนินการสร้างเครื่องเคลื่อนสีอุ Lumini เนียนด้วยวิธีการอะโนไดซ์ ได้ทำการตรวจรับวัสดุเพื่อที่จะนำวัสดุการผลิตขึ้นส่วนต่างๆ ของเครื่อง
- 1.7.2 ทำการแยกชิ้นส่วนสำเร็จ ได้แก่ มองเตอร์, สกรูขับเคลื่อน, สกรูยึด เป็นต้น
- 1.7.3 ชิ้นส่วนที่ต้องทำการผลิตขึ้นมาใช้ของส่วนประกอบ ได้แก่ ส่วนประกอบต่างๆ ที่ได้แสดงไว้ในภาคผนวก เช่น โครงเครื่อง ชุดขับเคลื่อน เป็นต้น
- 1.7.4 ดำเนินการจัดสร้างเครื่องเคลื่อนสีอุ Lumini เนียนด้วยวิธีการอะโนไดซ์ โดยมีการวางแผนการดำเนินงานแบ่งเป็นส่วนต่างๆ ได้ดังต่อไปนี้



ภาพที่ 3.8 ภาพประกอบเครื่องเคลื่อนสีอุ Lumini เนียนด้วยวิธีการอะโนไดซ์

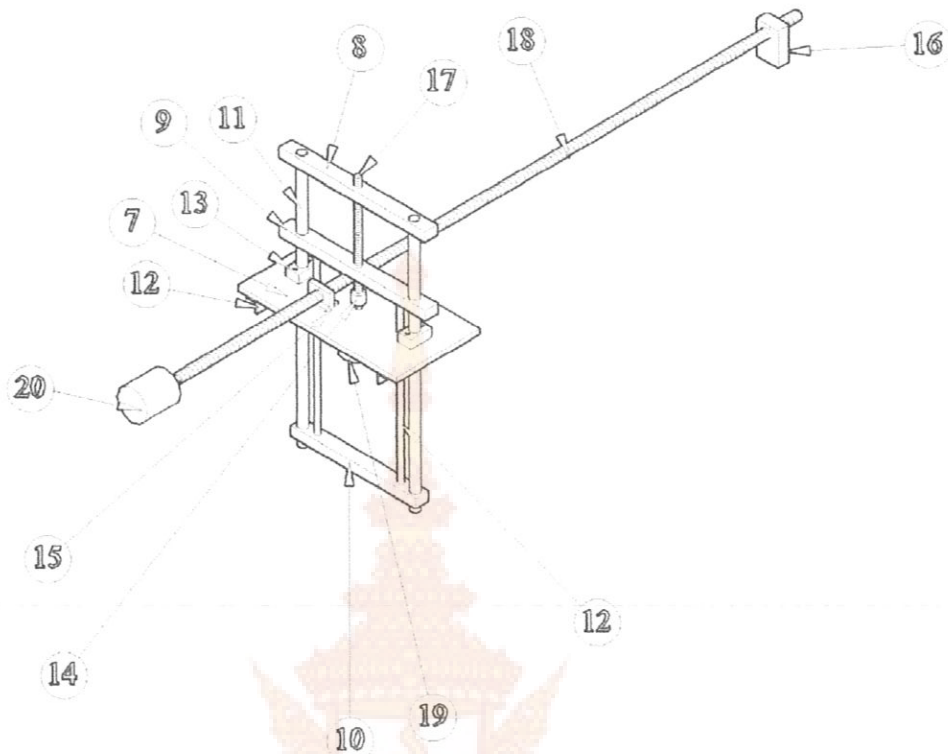


ภาพที่ 3.9 โครงเครื่องเคลื่อนสีอุลมีนียมด้วยวิธีการอะโนไดซ์

ชุดโครงเครื่องเคลื่อนสีอุลมีนียมด้วยวิธีการอะโนไดซ์ ดังแสดงในภาพที่ 3.9 นี้ สามารถแสดงรายละเอียดของชิ้นส่วนต่างๆ ได้ในตารางที่ 3.5

ตารางที่ 3.5 รายละเอียดชิ้นส่วนต่างๆ ของโครงเครื่องเคลื่อนสีอุลมีนียมด้วยวิธีการอะโนไดซ์

Pos.	Part Name and Remark	Dimension	Material	Req
1.	รางหุคเคลื่อนชิ้นงาน	L25x25 DIN 10210-2	S235J0	2
2.	ฐานรองบ่อชูบ	L25x25 DIN 1022	S355J0	4
3.	เสา 1	L25x25 DIN 1022	S355J0	4
4.	ฐานรองเสา	L25x25 DIN 1022	S355J0	4
5.	เสา 2	L25x25 DIN 1022	S355J0	2
6.	ฉากกันป้อชูบ	L25x25 DIN 1022	S355J0	7



ภาพที่ 3.10 ชุดขับเคลื่อนชิ้นงานเครื่องเคลือบสีอู่ลูมินียมด้วยวิธีการอะไกซ์

ชุดขับเคลื่อนชิ้นงานเครื่องเคลือบสีอู่ลูมินียมด้วยวิธีการอะไกซ์ จัดแสดงในภาพที่ 3.10
นั้น สามารถแสดงรายละเอียดของชิ้นส่วนต่างๆ ได้ในตารางที่ 3.6

ตารางที่ 3.6 รายละเอียดชุดเครื่องที่ชิ้นงานเครื่องเคลือบสีอะลูมิเนียมกึ่งอัตโนมัติ

Pos.	Part Name and Remark	Dimension	Material	Req
7.	ฐานชุดเคลื่อนที่ชิ้นงาน	200x380x10	อะคริลิค	1
8.	คานคำสา	30x350x20	อะคริลิค	1
9.	คานเคลื่อนชิ้นงานบน	30x350x20	อะคริลิค	1
10.	ที่เบวนชิ้นงาน	30x300x20	อะคริลิค	1
11.	เสาปะคงการเคลื่อนที่	Ø 19x500	สแตนเลส	2
12.	เสาตั้งระยะ	L25x25 DIN 10210-2	S235J0	2
13.	ตัวยึดเสาปะคง	30x50x15	เหล็ก	2
14.	ยึดมอเตอร์กับสตั๊ดเกลียว	Ø20x30	เหล็ก	1
15.	บังคับการเคลื่อนที่	30x50x35	เหล็ก	1
16.	ปะคงสตั๊ดเกลียว	20x50x100	เหล็ก	1
17.	สกรีฟาม	M12	AISI 1010	1
18.	สกรีฟาม	M12	AISI 1010	1
19.	สกรีฟาม	12 v 60 rpm.	มอเตอร์	1
20.	สกรีฟาม	12 v 60 rpm.	มอเตอร์	1



บทที่ 4

การทดลองและวิเคราะห์ผล

4.1 บทนำ

จากการดำเนินการตามวัตถุประสงค์ของโครงการ ในส่วนนี้ผู้วิจัยจะทำการทดสอบประสิทธิภาพการทำงานของเครื่องเคลื่อนสีอ่อนลูมิเนียนด้วยวิธีการอะโนไดซ์ และได้ดำเนินการหาข้อมูลความสามารถของเครื่องจักรดังกล่าว เพื่อความสะดวกในการใช้งานสำหรับผู้ใช้งานเครื่องเคลื่อนสีอ่อนลูมิเนียนด้วยวิธีการอะโนไดซ์

4.2 การทดสอบประสิทธิภาพเครื่องเคลื่อนสีอ่อนลูมิเนียนด้วยวิธีการอะโนไดซ์

ในการทดสอบประสิทธิภาพเครื่องเคลื่อนสีอ่อนลูมิเนียนด้วยวิธีการอะโนไดซ์ ตัวอย่างสุดยอดลูมิเนียนที่มีขนาดเส้นผ่านศูนย์กลาง 10 มิลลิเมตร ยาว 12 มิลลิเมตร โดยทำเกลียวใน โดยได้กำหนดเงื่อนไขในการทดสอบดังนี้

- 4.2.1 บ่อที่ 1 เป็นการล้างไชออกด้วยสารละลายโซเดียมฟอสเฟต 10 วินาที
- 4.2.2 บ่อที่ 2 ล้างทำความสะอาดผิวด้วยน้ำเปล่า โดยให้น้ำไหลผ่านชิ้นงาน 10 วินาที
- 4.2.3 บ่อที่ 3 เป็นการทำอะโนไดซ์โดยใช้สารละลายกรดขัคฟริก 10% ของปริมาณน้ำ โดยใช้แหล่งจ่ายไฟฟ้ากระแสตรง (DC) ความหนาแน่นกระแส 4.5 Amp./ml ความต่างศักย์ไฟฟ้า 24 v โดยใช้ชิ้นงานเป็น Anode ส่วนตะกั่วเป็น Cathode ใช้เวลา 4-5 นาที
- 4.2.4 บ่อที่ 4 ล้างชิ้นงานด้วยน้ำเปล่าอีกครั้ง ใช้เวลา 5 วินาที
- 4.2.5 บ่อที่ 5 หลังจากท่ออ่อนลูมิเนียนผ่านการทำอะโนไดซ์แล้ว นำมาชุบให้เป็นสีดำๆ โดยจุ่มลงในสารละลายสีที่สามารถเกาะยึดติดบนผิวอ่อนลูมิเนียนออกไซด์ได้ ใช้เวลา 10 นาที
- 4.2.6 บ่อที่ 6 ผิวอ่อนลูมิเนียนออกไซด์ที่ได้นี้ อาจเป็นด่างเป็นครุ่นได้ง่าย และมีรูพรุนอยู่บ้าง จึงต้องนำมาเคลือบปิดผิวอีกครั้งหนึ่ง โดยจุ่มลงในน้ำ ใช้เวลา 10 นาที

4.3 การทดสอบประสิทธิภาพเครื่องเคลื่อนสีอ่อนลูมิเนียนด้วยวิธีการอะโนไดซ์

ผลการประเมินการทดสอบเกี่ยวกับประสิทธิภาพเครื่องเคลื่อนสีอ่อนลูมิเนียนด้วยวิธีการอะโนไดซ์ในด้านความสมบูรณ์ของชิ้นงานทดสอบ โดยชิ้นงานทดสอบมีขนาดเส้นผ่านศูนย์กลาง 10 มิลลิเมตร ยาว 12 มิลลิเมตร ในการประเมินคุณภาพเครื่องเคลื่อนสีอ่อนลูมิเนียนด้วยวิธีการอะโนไดซ์ เกี่ยวกับความสมบูรณ์ของชิ้นงาน เนื่องจากข้อมูลชิ้นงานที่ชุบในแต่ละชิ้นเป็นข้อมูลเชิงคุณภาพ

ตารางที่ 4.1 ข้อมูลการทดสอบประสิทธิภาพเครื่องเคลื่อนสีอุณหภูมินิยมด้วยวิธีการอะโนไซซ์

ลำดับ การทำซ้ำ	ระยะเวลาในการทำงานไนโคลซ์(นาที)				
	2	4	6	8	10
1	NG	G	G	NG	NG
2	NG	G	NG	NG	NG
3	NG	G	NG	NG	NG
4	NG	G	G	G	NG
5	NG	G	NG	NG	NG

หมายเหตุ : G หมายถึง ชิ้นงานเคลื่อนสีสมบูรณ์

NG หมายถึง ชิ้นงานเคลื่อนสีไม่สมบูรณ์

ตารางที่ 4.2 การประมวลผลเชิงสถิติด้วยเทคนิค One-way ANOVA

One-way ANOVA: DPU versus Time

Source	DF	SS	MS	F	P
Time	4	2.240	0.560	4.00	0.015
Error	20	2.800	0.140		
Total	24	5.040			
S = 0.3742 R-Sq = 44.44% R-Sq(adj) = 33.33%					
Individual 95% CIs For Mean Based on Pooled StDev					
Level	N	Mean	StDev	-----+-----+-----+-----+-----	
2	5	0.0000	0.0000	(-----*-----)	
4	5	0.8000	0.4472		(-----*-----)
6	5	0.4000	0.5477	(-----*-----)	
8	5	0.2000	0.4472	(-----*-----)	
10	5	0.0000	0.0000	(-----*-----)	
-----+-----+-----+-----+-----					
0.00 0.40 0.80 1.20					

จากการประมวลผลเชิงสถิติด้วยเทคนิคการวิเคราะห์ความแปรปรวนทางเดียว (One-way Analysis of Variance : One-way ANOVA) ด้วยโปรแกรมคอมพิวเตอร์ พบว่า ช่วงเวลาในการทำปฏิกริยาอะโนไซซ์ 2-10 นาที มีความแตกต่างกันอย่างมีนัยสำคัญเชิงสถิติ ณ ระดับความเชื่อมั่น

นอกจากนี้ เมื่อทำการพิจารณาผลการทดสอบจะพบว่าเมื่อทำการใช้ระยะเวลาในการทำออนไลน์ไดช์ 4 นาที พบว่า ชิ้นงานทดสอบสมบูรณ์ทั้งหมด ดังนั้น จึงมีการทดสอบเพื่อพิสูจน์ความถูกต้องของค่าที่เหมาะสมที่ได้จากการทดสอบใน การทดสอบประสิทธิภาพเครื่องเคลื่อนสื่ออุปกรณ์ขึ้น ด้วยวิธีการออนไลน์ไดช์ โดยจะใช้ชิ้นงานทดสอบจำนวน 25 ชิ้น โดยผลการทดสอบสามารถแสดงได้ดังตารางที่ 4.3 ซึ่งผลการทดสอบชิ้นงานทดสอบทั้ง 25 ชิ้น พบว่า ชิ้นงานเคลื่อนสื่อสมบูรณ์ (G)

ตารางที่ 4.3 ข้อมูลการทดสอบการทำออนไลน์ไดช์ชิ้นงานทดสอบ โดยใช้ระยะเวลา 4 นาที

ลำดับ	ผลการทดสอบ	ลำดับ	ผลการทดสอบ
1	G	16	G
2	G	17	G
3	G	18	G
4	G	19	G
5	G	20	G
6	G	21	G
7	G	22	G
8	G	23	G
9	G	24	G
10	G	25	G
11	G		
12	G		
13	G		
14	G		
15	G		

บทที่ 5

สรุปผลและข้อเสนอแนะ

5.1 สรุปผล

เครื่องเคลือบสีอุ่มนิ่มด้วยวิธีการอะโนไดซ์ ถูกออกแบบและสร้างโดยการประยุกต์ เทคโนโลยีด้านวิศวกรรม มีจำนวนนับสำหรับเคลือบสีอุ่มนิ่มด้วยวิธีการอะโนไดซ์ทั้งหมด 6 บ่อ ได้แก่ บ่อที่ 1 เป็นการถังไบออกด้วยสารละลายโซเดียมฟอสเฟต 10 วินาที, บ่อที่ 2 ถังทำความสะอาดพิเศษชั้นงานด้วยน้ำเปล่า 10 วินาที, บ่อที่ 3 เป็นการทำอะโนไดซ์โดยใช้สารละลายกรดซัลฟูริก 10% ของปริมาณน้ำ โดยใช้แหล่งจ่ายไฟฟ้ากระแสตรง (DC) ความหนาแน่นกระแส 4.5 Amp/ml ความต่างศักย์ไฟฟ้า 24 v โดยใช้ชิ้นงานเป็น Anode ส่วนตะกั่วเป็น Cathode ใช้เวลา 4 นาที, บ่อที่ 4 ถังชั้นงานด้วยน้ำเปล่าอีกครั้ง 5 วินาที, บ่อที่ 5 หลังจากที่อุ่มนิ่มผ่านการทำอะโนไดซ์ แล้ว นำมาชุบให้เป็นสีดำๆ โดยจุ่มลงในสารละลายที่มีสีที่สามารถติดได้บนผิวอุ่มนิ่มออกไซด์ 10 นาที และบ่อที่ 6 ผิวอุ่มนิ่มออกไซด์ที่ได้นี้อาจด่างเป็นครง ได้ง่ายและมีรูพรุนอยู่บ้าง จึงต้องนำมาเคลือบปิดผิวอีกครั้งหนึ่ง โดยจุ่มลงในน้ำประมาน 10 นาที

การทดสอบประสิทธิภาพของเครื่องเคลือบสีอุ่มนิ่มด้วยวิธีการอะโนไดซ์นั้น สามารถสรุปวิธีการทำอะโนไดซ์ในบ่อที่ 3 โดยใช้สารละลายกรดซัลฟูริก 10% ของปริมาณน้ำ ใช้แหล่งจ่ายไฟฟ้ากระแสตรง (DC) ความหนาแน่นกระแส 4.5 Amp/ml ความต่างศักย์ไฟฟ้า 24 v โดยใช้ชิ้นงานเป็น Anode ส่วนตะกั่วเป็น Cathode ใช้เวลา 4 นาที โดยทำการทดสอบประสิทธิภาพการเคลือบสีชั้นงานขนาดเส้นผ่านศูนย์กลาง 10 mm. ยาว 12 mm และทดสอบระยะเวลาในการเคลือบสีช่วงตั้งแต่ 2-10 นาที ซึ่งผลการทดสอบประสิทธิภาพของเครื่องเคลือบสีอุ่มนิ่มด้วยวิธีการอะโนไดซ์เกี่ยวกับวิธีการทำอะโนไดซ์ในบ่อที่ 3 พบว่า ระยะเวลาในการเคลือบสีที่เหมาะสมกับชิ้นงานขนาดเส้นผ่านศูนย์กลาง 10 mm. ยาว 12 mm คือ 4 นาที

บรรณานุกรม

- จำรูญ ตันติพิศาด. “ ออกรอบชั้นส่วนเครื่องจักรกล 2 ” พิมพ์ครั้งที่ 1 ว.พีชรศกุล.
 บรรเลง ศรนิล ; กิตติ นิงสาณท. “ การคำนวณและชั้นส่วนเครื่องกล ” พิมพ์ครั้งที่ 1
 กรุงเทพมหานคร : สถาบันเทคโนโลยีพระจอมเกล้าพระนครเหนือ , 2538.
- บรรเลง ศรนิล ; ประเสริฐ กิ่วยสมบูรณ์. “ ตารางโลหะ ” กรุงเทพมหานคร : สถาบันเทคโนโลยี
 พระจอมเกล้าพระนครเหนือ , 2522.
- บรรเลง ศรนิลและกิตติ นิงสาณท. “ การคำนวณและการออกแบบชั้นส่วนเครื่องกล ”
 กรุงเทพมหานคร : สถาบันเทคโนโลยีพระจอมเกล้าพระนครเหนือ , 2522. : 225
- บุญญาศักดิ์ ใจจงกิจ. “ คณิตศาสตร์ช่างเบื้องต้น ” พิมพ์ครั้งที่ 1 กรุงเทพมหานคร : สถาบัน
 เทคโนโลยีพระจอมเกล้าพระนครเหนือ , 2522.
- ประไพรี สุทธานนท์ ณ อุฐยา และพงษ์ชนัน เหลืองไพบูลย์ “ การออกแบบและวิเคราะห์การทดลอง
 ” พิมพ์ครั้งที่ 1. กรุงเทพฯ . สำนักพิมพ์ห้อป , 2551.
- นานพ ตันตะบันพิทย์ ; สำเดช แสงหัว ; สุทธิน พิตร์เจริญ. “ ชั้นส่วนเครื่องจักรกล ” พิมพ์ครั้งที่
 7 กรุงเทพมหานคร : ประชาชน , 2544.
- มนหาด ฉายอรุณ . “ วัสดุอุตสาหกรรม ” พิมพ์ครั้งที่ 1 กรุงเทพมหานคร : เจริญธรรม , 2547.
- สมาน เจริญพูลผล. “ การออกแบบชั้นส่วนเครื่องจักรกล ” พิมพ์ครั้งที่ 1 กรุงเทพมหานคร :
 พลิกฟื้นศิริเซ็นเตอร์ , 2540.